

Correlated quantum systems in intense fields

– dynamics of multiple and highly-charged ions

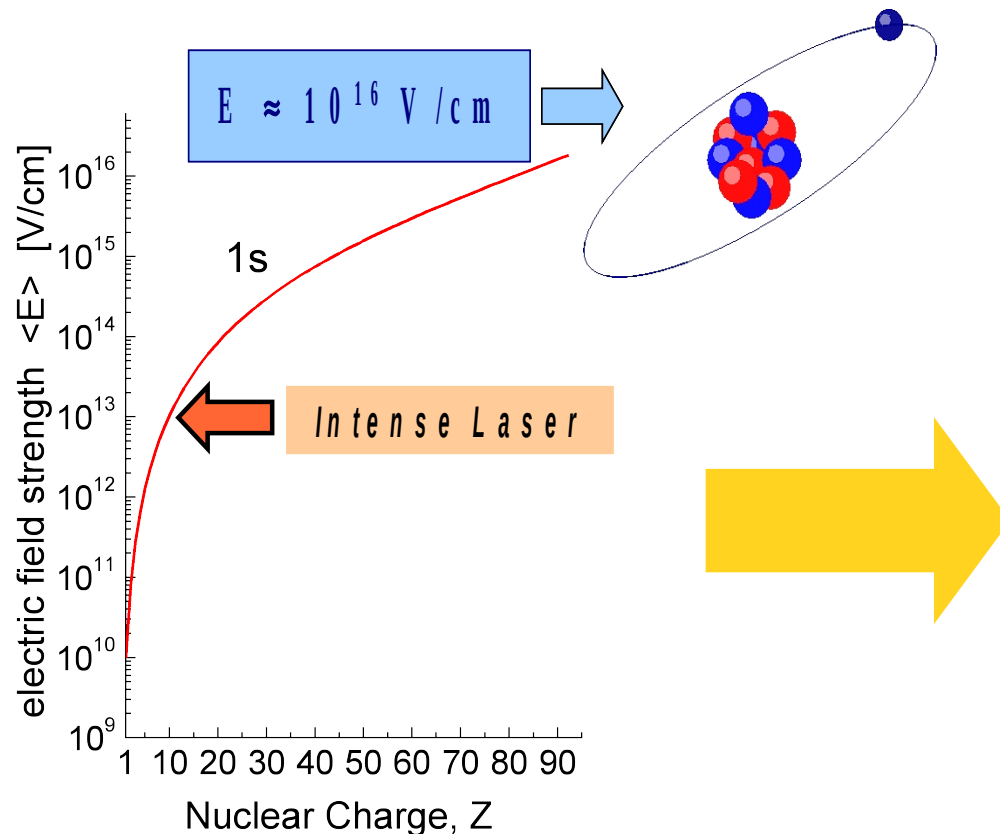
S. Fritzsche

6th February 2013

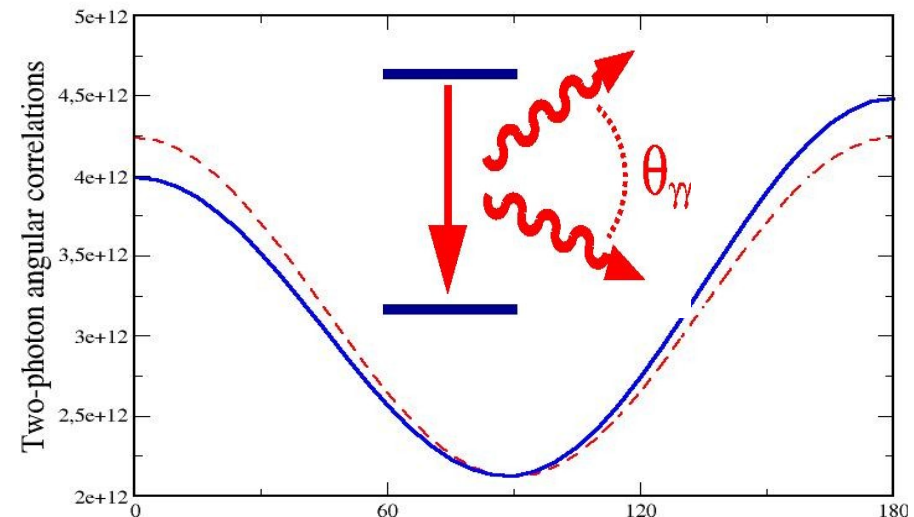
Correlated quantum systems in intense fields

dynamics of multiple and highly-charged ions

- Ionization & recombination in strong Coulomb fields
correlated photon and/or electron emission

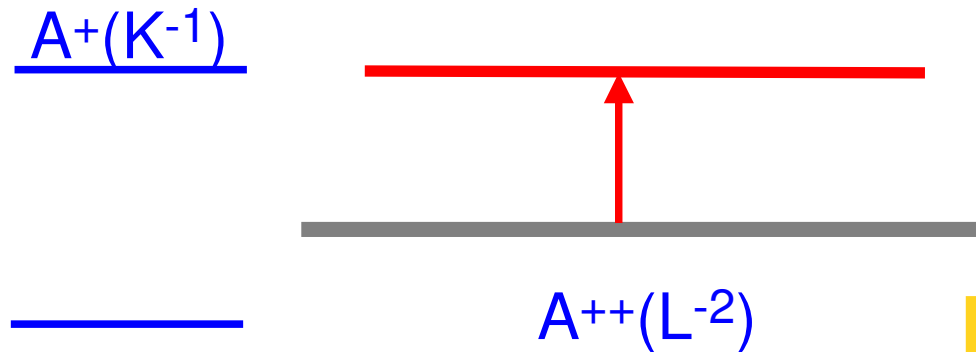


$$E1E1 + E1M2 + M1M1 + E2E2 + E2M1 + \dots$$



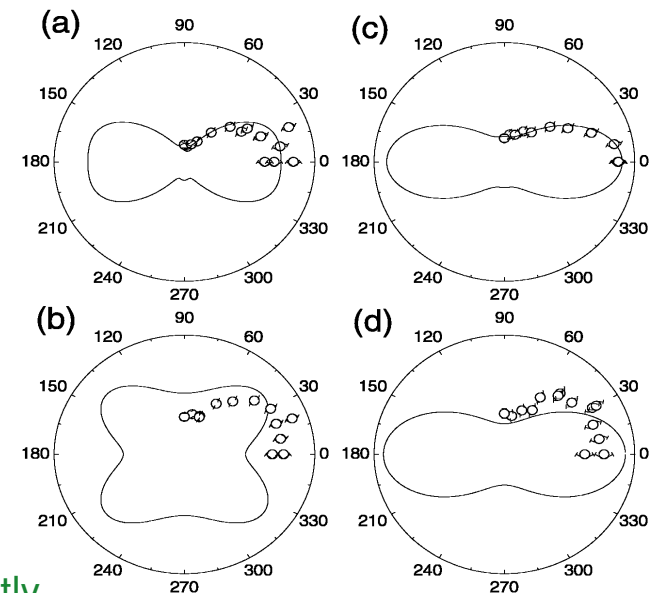
Correlated quantum systems in intense fields

- ◆ Ionization & recombination in strong Coulomb fields
correlated photon and/or electron emission
- ◆ Coupling of deeply-bound electrons to the continuum
correlation-induced autoionization & capture



$$H = \sum_i h_i + \sum_{i < j} \frac{1}{r_{ij}}$$

Angular correlations
between the subsequently
emitted Auger electrons.



Correlated quantum systems in intense fields



...

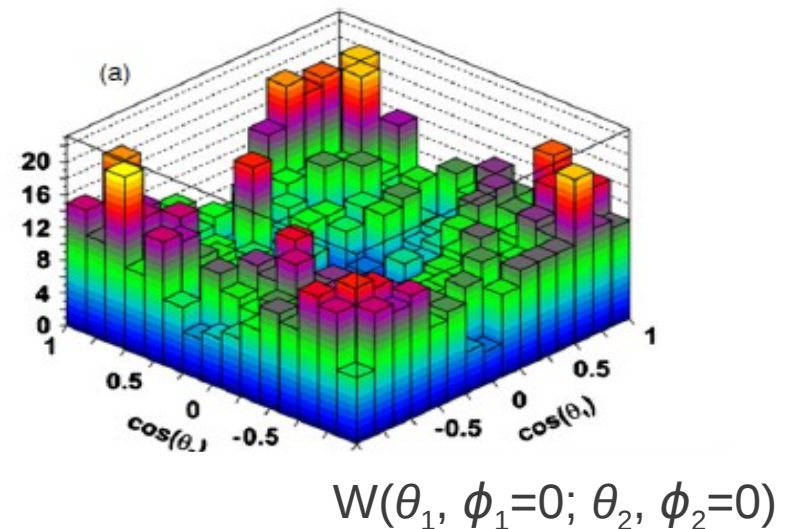
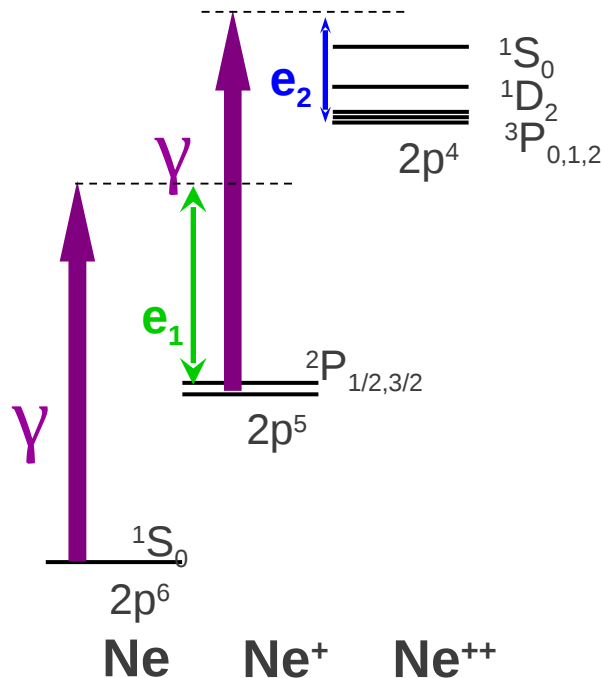
- Properties of many-electron & (super-) heavy elements
correlated (ab-initio) many-body techniques

--	--	--	--	--	--	--	--	--	--	--	--	--	--	--	--	--	--	--	--	--	--	--	--	--	--	--	--	--	--	--	--	--	--	--	--	--	--	--	--	--	--	--	--	--	--	--	--	--	--	--	--	--	--	--	--	--	--	--	--	--	--	--	--	--	--	--	--	--	--	--	--	--	--	--	--	--	--	--	--	--	--	--	--	--	--	--	--	--	--	--	--	--	--	--	--	--	--	--	--	--	--	--	--	--	--	--	--	--	--	--	--	--	--	--	--	--	--	--	--	--	--	--	--	--	--	--	--	--	--	--	--	--	--	--	--	--	--	--	--	--	--	--	--	--	--	--	--	--	--	--	--	--	--	--	--	--	--	--	--	--	--	--	--	--	--	--	--	--	--	--	--	--	--	--	--	--	--	--	--	--	--	--	--	--	--	--	--	--	--	--	--	--	--	--	--	--	--	--	--	--	--	--	--	--	--	--	--	--	--	--	--	--	--	--	--	--	--	--	--	--	--	--	--	--	--	--	--	--	--	--	--	--	--	--	--	--	--	--	--	--	--	--	--	--	--	--	--	--	--	--	--	--	--	--	--	--	--	--	--	--	--	--	--	--	--	--	--	--	--	--	--	--	--	--	--	--	--	--	--	--	--	--	--	--	--	--	--	--	--	--	--	--	--	--	--	--	--	--	--	--	--	--	--	--	--	--	--	--	--	--	--	--	--	--	--	--	--	--	--	--	--	--	--	--	--	--	--	--	--	--	--	--	--	--	--	--	--	--	--	--	--	--	--	--	--	--	--	--	--	--	--	--	--	--	--	--	--	--	--	--	--	--	--	--	--	--	--	--	--	--	--	--	--	--	--	--	--	--	--	--	--	--	--	--	--	--	--	--	--	--	--	--	--	--	--	--	--	--	--	--	--	--	--	--	--	--	--	--	--	--	--	--	--	--	--	--	--	--	--	--	--	--	--	--	--	--	--	--	--	--	--	--	--	--	--	--	--	--	--	--	--	--	--	--	--	--	--	--	--	--	--	--	--	--	--	--	--	--	--	--	--	--	--	--	--	--	--	--	--	--	--	--	--	--	--	--	--	--	--	--	--	--	--	--	--	--	--	--	--	--	--	--	--	--	--	--	--	--	--	--	--	--	--	--	--	--	--	--	--	--	--	--	--	--	--	--	--	--	--	--	--	--	--	--	--	--	--	--	--	--	--	--	--	--	--	--	--	--	--	--	--	--	--	--	--	--	--	--	--	--	--	--	--	--	--	--	--	--	--	--	--	--	--	--	--	--	--	--	--	--	--	--	--	--	--	--	--	--	--	--	--	--	--	--	--	--	--	--	--	--	--	--	--	--	--	--	--	--	--	--	--	--	--	--	--	--	--	--	--	--	--	--	--	--	--	--	--	--	--	--	--	--	--	--	--	--	--	--	--	--	--	--	--	--	--	--	--	--	--	--	--	--	--	--	--	--	--	--	--	--	--	--	--	--	--	--	--	--	--	--	--	--	--	--	--	--	--	--	--	--	--	--	--	--	--	--	--	--	--	--	--	--	--	--	--	--	--	--	--	--	--	--	--	--	--	--	--	--	--	--	--	--	--	--	--	--	--	--	--	--	--	--	--	--	--	--	--	--	--	--	--	--	--	--	--	--	--	--	--	--	--	--	--	--	--	--	--	--	--	--	--	--	--	--	--	--	--	--	--	--	--	--	--	--	--	--	--	--	--	--	--	--	--	--	--	--	--	--	--	--	--	--	--	--	--	--	--	--	--	--	--	--	--	--	--	--	--	--	--	--	--	--	--	--	--	--	--	--	--	--	--	--	--	--	--	--	--	--	--	--	--	--	--	--	--	--	--	--	--	--	--	--	--	--	--	--	--	--	--	--	--	--	--	--	--	--	--	--	--	--	--	--	--	--	--	--	--	--	--	--	--	--	--	--	--	--	--	--	--	--	--	--	--	--	--	--	--	--	--	--	--	--	--	--	--	--	--	--	--	--	--	--	--	--	--	--	--	--	--	--	--	--	--	--	--	--	--	--	--	--	--	--	--	--	--	--	--	--	--	--	--	--	--	--	--	--	--	--	--	--	--	--	--	--	--	--	--	--	--	--	--	--	--	--	--	--	--	--	--	--	--	--	--	--	--	--	--	--	--	--	--	--	--	--	--	--	--	--	--	--	--	--	--	--	--	--	--	--	--	--	--	--	--	--	--	--	--	--	--	--	--	--	--	--	--	--	--	--	--	--	--	--	--	--	--	--	--	--	--	--	--	--	--	--	--	--	--	--	--	--	--	--	--	--	--	--	--	--	--	--	--	--	--	--	--	--	--	--	--	--	--	--	--	--	--	--	--	--	--	--	--	--	--	--	--	--	--	--	--	--	--	--	--	--	--	--	--	--	--	--	--	--	--	--	--	--	--	--	--	--	--	--	--	--	--	--	--	--	--	--	--	--	--	--	--	--	--	--	--	--	--	--	--	--	--	--	--	--	--	--	--	--	--	--	--	--	--	--	--	--	--	--	--	--	--	--	--	--	--	--	--	--	--	--	--	--	--	--	--	--	--	--	--	--	--	--	--	--	--	--	--	--	--	--	--	--	--	--	--	--	--	--	--	--	--	--	--	--	--	--	--	--	--	--	--	--	--	--	--	--	--	--	--	--	--	--	--	--	--	--	--	--	--	--	--	--	--	--	--	--	--	--	--	--	--	--	--	--	--	--	--	--	--	--	--	--	--	--	--	--	--	--	--	--	--	--	--	--	--	--	--	--	--	--	--	--	--	--	--	--	--	--	--	--	--	--	--	--	--	--	--	--	--	--	--	--	--	--	--	--	--	--	--	--	--	--	--	--	--	--	--	--	--	--	--	--	--	--	--	--	--	--	--	--	--	--	--	--	--	--	--	--	--	--	--	--	--	--	--	--	--	--	--	--	--	--	--	--	--	--	--	--	--	--	--	--	--	--	--	--	--	--	--	--	--	--	--	--	--	--	--	--	--	--	--	--	--	--	--	--	--	--	--	--	--	--	--	--	--	--	--	--	--	--	--	--	--	--	--	--	--	--	--	--	--	--	--	--	--	--	--	--	--	--	--	--	--	--	--	--	--	--	--	--	--	--	--	--	--	--	--	--	--	--	--	--	--	--	--	--	--	--	--	--	--	--	--	--	--	--	--	--	--	--	--	--	--	--	--	--	--	--	--	--	--	--	--	--	--	--	--	--	--	--	--	--	--	--	--	--	--	--	--	--	--	--	--	--	--	--	--	--	--	--	--	--	--	--	--	--	--	--	--	--	--	--	--	--	--	--	--	--	--	--	--	--	--	--	--	--	--	--	--	--	--	--	--	--	--	--	--	--	--	--	--	--	--	--	--	--	--	--	--	--	--	--	--	--	--	--	--	--	--	--	--	--	--	--	--	--	--	--	--	--	--	--	--	--	--	--	--	--	--	--	--	--	--	--	--	--	--	--	--	--	--	--	--	--	--	--	--	--	--	--	--	--	--	--	--	--	--	--	--	--	--	--	--	--	--	--	--	--	--	--	--	--	--	--	--	--	--	--	--	--	--	--	--	--	--	--	--	--	--	--	--	--	--	--	--	--	--	--	--	--	--	--	--	--	--	--	--	--	--	--	--	--	--	--	--	--	--	--	--	--	--	--	--	--	--	--	--	--	--	--	--	--	--	--	--	--	--	--	--	--	--	--	--	--	--	--	--	--	--	--	--	--	--	--	--	--	--	--	--	--	--	--	--	--	--	--	--	--	--	--	--	--	--	--	--	--	--	--	--	--	--	--	--	--	--	--	--	--	--	--	--	--	--	--	--	--	--	--	--	--	--	--	--	--	--	--	--	--	--	--	--	--	--	--	--	--	--	--	--	--	--	--	--	--	--	--	--	--	--	--	--	--	--	--	--	--	--	--	--	--	--	--	--	--	--	--	--	--	--	--	--	--	--	--	--	--	--	--	--	--	--	--	--	--	--	--	--	--	--	--	--	--	--	--	--	--	--	--	--	--	--	--	--	--	--	--	--	--	--	--	--	--	--	--	--	--	--	--	--	--	--	--	--	--	--	--	--	--	--	--	--	--	--	--	--	--	--	--	--	--	--	--	--	--	--	--	--	--	--	--	--	--	--	--	--	--	--	--	--	--	--	--	--	--	--	--	--	--	--	--	--	--	--	--	--	--	--	--	--	--	--	--	--	--	--	--	--	--	--	--	--	--	--	--	--	--	--	--	--	--	--	--	--	--	--	--	--	--	--	--	--	--	--	--	--	--	--	--	--	--	--	--	--	--	--	--	--	--	--	--	--	--	--	--	--	--	--	--	--	--	--	--	--	--	--	--	--	--	--	--	--	--	--	--	--	--	--	--	--	--	--	--	--	--	--	--	--	--	--	--	--	--	--	--	--	--	--	--	--	--	--	--	--	--	--	--	--	--	--	--	--	--	--	--	--	--	--	--	--	--	--	--	--	--	--	--	--	--	--	--	--	--	--	--	--	--	--	--	--	--	--	--	--	--	--	--	--	--	--	--	--	--	--	--	--	--	--	--	--	--	--	--	--	--	--	--	--	--	--	--	--	--	--	--	--	--	--	--	--	--	--	--	--	--	--	--	--	--	--	--	--	--	--	--	--	--	--	--	--	--	--	--	--	--	--	--	--	--	--	--	--	--	--	--	--	--	--	--	--	--	--	--	--	--	--	--	--	--	--	--	--	--	--	--	--	--	--	--	--	--	--	--	--	--	--	--	--	--	--	--	--	--	--	--	--	--	--	--	--	--	--	--	--	--	--	--	--	--	--	--	--	--	--	--	--	--	--	--	--	--	--	--	--	--	--	--	--	--	--	--	--	--	--	--	--	--	--	--	--	--	--	--	--	--	--	--	--	--	--	--	--	--	--	--	--	--	--	--	--	--	--	--	--	--	--	--	--	--	--	--	--	--	--	--	--	--	--	--	--	--	--	--	--	--	--	--	--	--	--	--	--	--	--	--	--	--	--	--	--	--	--	--	--	--	--	--	--	--	--	--	--	--	--	--	--	--	--	--	--	--	--	--	--	--	--	--	--	--	--	--	--	--	--	--	--	--	--	--	--	--	--	--	--	--	--	--	--	--	--	--	--	--	--	--	--	--	--	--	--	--	--	--	--	--	--	--	--	--	--	--	--	--	--	--	--	--	--	--	--	--	--	--	--	--	--	--	--	--	--	--	--	--	--	--	--	--	--	--	--	--	--	--	--	--	--	--	--	--	--	--	--	--	--	--	--	--	--	--	--	--	--	--	--	--	--	--	--	--	--	--	--	--	--	--	--	--	--	--	--	--	--	--	--	--	--	--	--	--	--	--	--	--	--	--	--	--	--	--	--	--	--	--	--	--	--	--	--	--	--	--	--	--	--	--	--	--	--	--	--	--	--	--	--	--	--	--	--	--	--	--	--	--	--	--	--	--	--	--	--	--	--	--	--	--	--	--	--	--	--	--	--	--	--	--	--	--	--	--	--	--	--	--	--	--	--	--	--	--	--	--	--	--	--	--	--	--	--	--	--	--	--	--	--	--	--	--	--	--	--	--	--	--	--	--	--	--	--	--	--	--	--	--	--	--	--	--	--	--	--	--	--	--	--	--	--	--	--	--	--	--	--	--	--	--	--	--	--	--	--	--	--	--	--	--	--	--	--	--	--	--	--	--	--	--	--	--	--	--	--	--	--	--	--	--	--	--	--	--	--	--	--	--	--	--	--	--	--	--	--	--	--	--	--	--	--	--	--	--	--	--	--	--	--	--	--	--	--	--	--	--	--	--	--	--	--	--	--	--	--	--	--	--	--	--	--	--	--	--	--	--	--	--	--	--	--	--	--	--	--	--	--	--	--	--	--	--	--	--	--	--	--	--	--	--	--	--	--	--	--	--	--	--	--	--	--	--	--	--	--	--	--	--	--	--	--	--	--	--	--	--	--	--	--	--	--	--	--	--	--	--	--	--	--	--	--	--	--	--	--	--	--	--	--	--	--	--	--	--	--	--	--	--	--	--	--	--	--	--	--	--	--	--	--	--	--	--	--	--	--	--	--	--	--	--	--	--	--	--	--	--	--	--	--	--	--	--	--	--	--	--	--	--	--	--	--	--	--	--	--	--	--	--	--	--	--	--	--	--	--	--	--	--	--	--	--	--	--	--	--	--	--	--	--	--	--	--	--	--	--	--	--	--	--	--	--	--	--	--	--	--	--	--	--	--	--	--	--	--	--	--	--	--	--	--	--	--	--	--	--	--	--	--	--	--	--	--	--	--	--	--	--	--	--	--	--	--	--	--	--	--	--	--	--	--	--	--	--	--	--	--	--	--	--	--	--	--	--	--	--	--	--	--	--	--	--	--	--	--	--	--	--	--	--	--	--	--	--	--	--	--	--	--	--	--	--	--	--	--	--	--	--	--	--	--	--	--	--	--	--	--	--	--	--	--	--	--	--	--	--	--	--	--	--	--	--	--	--	--	--	--	--	--	--	--	--	--	--	--	--	--	--	--	--	--	--	--	--	--	--	--	--	--	--	--	--	--	--	--	--	--	--	--	--	--	--	--	--	--	--	--	--	--	--	--	--	--	--	--	--	--	--	--	--	--	--	--	--	--	--	--	--	--	--	--	--	--	--	--	--	--	--	--	--	--	--	--	--	--	--	--	--	--	--	--	--	--	--	--	--	--	--	--	--	--	--	--	--	--	--	--	--	--	--	--	--	--	--	--	--	--	--	--	--	--	--	--	--	--	--	--	--	--	--	--	--	--	--	--	--	--	--	--	--	--	--	--	--	--	--	--	--	--	--	--	--	--	--	--	--	--	--	--	--	--	--	--	--	--	--	--	--	--	--	--	--	--	--	--	--	--	--	--	--	--	--	--	--	--	--	--	--	--	--	--	--	--	--	--	--	--	--	--	--	--	--	--	--	--	--	--	--	--	--	--	--	--	--	--	--	--	--	--	--	--	--	--	--	--	--	--	--	--	--	--	--	--	--	--	--	--	--	--	--	--	--	--	--	--	--	--	--	--	--	--	--	--	--	--	--	--	--	--	--	--	--	--	--	--	--	--	--	--	--	--	--	--	--	--	--	--	--	--	--	--	--	--	--	--	--	--	--	--	--	--	--	--	--	--	--	--	--	--	--	--	--	--	--	--	--	--	--	--	--	--	--	--	--	--	--	--	--	--	--	--	--	--	--	--	--	--	--	--	--	--	--	--	--	--	--	--	--	--	--	--	--	--	--	--	--	--	--	--	--	--	--	--	--	--	--	--	--	--	--	--	--	--	--	--	--	--	--	--	--	--	--	--	--	--	--	--	--	--	--	--	--	--	--	--	--	--	--	--	--	--	--	--	--	--	--	--	--	--	--	--	--	--	--	--	--	--	--	--	--	--	--	--	--	--	--	--	--	--	--	--	--	--	--	--	--	--	--	--	--	--	--	--	--	--	--	--	--	--	--	--	--	--	--	--	--	--	--	--	--	--	--	--	--	--	--	--	--	--	--	--	--	--	--	--	--	--	--	--	--	--	--	--	--	--	--	--	--	--	--	--	--	--	--	--	--	--	--	--	--	--	--	--	--	--	--	--	--	--	--	--	--	--	--	--	--	--	--	--	--	--	--	--	--	--	--	--	--	--	--	--	--	--	--	--	--	--	--	--	--	--	--	--	--	--	--	--	--	--	--	--	--	--	--	--	--	--	--	--	--	--	--	--	--	--	--	--	--	--	--	--	--	--	--	--	--	--	--	--	--	--	--	--	--	--	--	--	--	--	--	--	--	--	--	--	--	--	--	--	--	--	--	--	--	--	--	--	--	--	--	--	--	--	--	--	--	--	--	--	--	--	--	--	--	--	--	--	--	--	--	--	--	--	--	--	--	--	--	--	--	--	--	--	--	--	--	--	--	--	--	--	--	--	--	--	--	--	--	--	--	--	--	--	--	--	--	--	--	--	--	--	--	--	--	--	--	--	--	--	--	--	--	--	--	--	--	--	--	--	--	--	--	--	--	--	--	--	--	--	--	--	--	--	--	--	--	--	--	--	--	--	--	--	--	--	--	--	--	--	--	--	--	--	--	--	--	--	--	--	--	--	--	--	--	--	--	--	--	--	--	--	--	--	--	--	--	--	--	--	--	--	--	--	--	--	--	--	--	--	--	--	--	--	--	--	--	--	--	--	--	--	--	--	--	--	--	--	--	--	--	--	--	--	--	--	--	--	--	--	--	--	--	--	--	--	--	--	--	--	--	--	--	--	--	--	--	--	--	--	--	--	--	--	--	--	--	--	--	--	--	--	--	--	--	--	--	--	--	--	--	--	--	--	--	--	--	--	--	--	--	--	--	--	--	--	--	--	--	--	--	--	--	--	--	--	--	--	--	--	--	--	--	--	--	--	--	--	--	--	--	--	--	--	--	--	--	--	--	--	--	--	--	--	--	--	--	--	--	--	--	--	--	--	--	--	--	--	--	--	--	--	--	--	--	--	--	--	--	--	--	--	--	--	--	--	--	--	--	--	--	--	--	--	--	--	--	--	--	--	--	--	--	--	--	--	--	--	--	--	--	--	--	--	--	--	--	--	--	--	--	--	--	--	--	--	--	--	--	--	--	--	--	--	--	--	--	--	--	--	--	--	--	--	--	--	--	--	--	--	--	--	--	--	--	--	--	--	--	--	--	--	--	--	--	--	--	--	--	--	--	--	--	--	--	--	--	--	--	--	--	--	--	--	--	--	--	--	--	--	--	--	--	--	--	--	--	--	--	--	--	--	--	--	--	--	--	--	--	--	--	--	--	--	--	--	--	--	--	--	--	--	--	--	--	--	--	--	--	--	--	--	--	--	--	--	--	--	--	--	--	--	--	--	--	--	--	--	--	--	--	--	--	--	--	--	--	--	--	--	--	--	--	--	--	--	--	--	--	--	--	--	--	--	--	--	--	--	--	--	--	--	--	--	--	--	--	--	--	--	--	--	--	--	--	--	--	--	--	--	--	--	--	--	--	--	--	--	--	--	--	--	--	--	--	--	--	--	--	--	--	--	--	--	--	--	--	--	--	--	--	--	--	--	--	--	--	--	--	--	--	--	--	--	--	--	--	--	--	--	--	--	--	--	--	--	--	--	--	--	--	--	--	--	--	--	--	--	--	--	--	--	--	--	--	--	--	--	--	--	--	--	--	--	--	--	--	--	--	--	--	--	--	--	--	--	--	--	--	--	--	--	--	--	--	--	--	--	--	--	--	--	--	--	--	--	--	--	--	--	--	--	--	--	--	--	--	--	--	--	--	--	--	--	--	--	--	--	--	--	--	--	--	--	--	--	--	--	--	--	--	--	--	--	--	--	--	--	--	--	--	--	--	--	--	--	--	--	--	--	--	--	--	--	--	--	--	--	--	--	--	--	--	--	--	--	--	--	--	--	--	--	--	--	--	--	--	--	--	--	--	--	--	--	--	--	--	--	--	--	--	--	--	--	--	--	--	--	--	--	--	--	--	--	--	--	--	--	--	--	--	--	--	--	--	--	--	--	--	--	--	--	--	--	--	--	--	--	--	--	--	--	--	--	--	--	--	--	--	--	--	--	--	--	--	--	--	--	--	--	--	--	--	--	--	--	--	--	--	--	--	--	--	--	--	--	--	--	--	--	--	--	--	--	--	--	--	--	--	--	--	--	--	--	--	--	--	--	--	--	--	--	--	--	--	--	--	--	--	--	--	--	--	--	--	--	--	--	--	--	--	--	--	--	--	--	--	--	--	--	--	--	--	--	--	--	--	--	--	--	--	--	--	--	--	--	--	--	--	--	--	--	--	--	--	--	--	--	--	--	--	--	--	--	--	--	--	--	--	--	--	--	--	--	--	--	--	--	--	--	--	--	--	--	--	--	--	--	--	--	--	--	--	--	--	--	--	--	--	--	--	--	--	--	--	--	--	--	--	--	--	--	--	--	--	--	--	--	--	--	--	--	--	--	--	--	--	--	--	--	--	--	--	--	--	--	--	--	--	--	--	--	--	--	--	--	--	--	--	--	--	--	--	--	--	--	--	--	--	--	--	--	--	--	--	--	--	--	--	--	--	--	--	--	--	--	--	--	--	--	--	--	--	--	--	--	--	--	--	--	--	--	--	--	--	--	--	--	--	--	--	--	--	--	--	--	--	--	--	--	--	--	--	--	--	--	--	--	--	--	--	--	--	--	--	--	--	--	--	--	--	--	--	--	--	--	--	--	--	--	--	--	--	--	--	--	--	--	--	--	--	--	--	--	--	--	--	--	--	--	--	--	--	--	--	--	--	--	--	--	--	--	--	--	--	--	--	--	--	--	--	--	--	--	--	--	--	--	--	--	--	--	--	--	--	--	--	--	--	--	--	--	--	--	--	--	--	--	--	--	--	--	--	--	--	--	--	--	--	--	--	--	--	--	--	--	--	--	--	--	--	--	--	--	--	--	--	--	--	--	--	--	--	--	--	--	--	--	--	--	--	--	--	--	--	--	--	--	--	--	--	--	--	--	--	--	--	--	--	--	--	--	--	--	--	--	--	--	--	--	--	--	--	--	--	--	--	--	--	--	--	--	--	--	--	--	--	--	--	--	--	--	--	--	--	--	--	--	--	--	--	--	--	--	--	--	--	--	--	--	--	--	--	--	--	--	--	--	--	--	--	--	--	--	--	--	--	--	--	--	--	--	--	--	--	--	--	--	--	--	--	--	--	--	--	--	--	--	--	--	--	--	--	--	--	--	--	--	--	--	--	--	--	--	--	--	--	--	--	--	--	--	--	--	--	--	--	--	--	--	--	--	--	--	--	--	--	--	--	--	--	--	--	--	--	--	--	--	--	--	--	--	--	--	--	--	--	--	--	--	--	--	--	--	--	--	--	--	--	--	--	--	--	--	--	--	--	--	--	--	--	--	--	--	--	--	--	--	--	--	--	--	--	--	--	--	--	--	--	--	--	--	--	--	--	--	--	--	--	--	--	--	--	--	--	--	--	--	--	--	--	--	--	--	--	--	--	--	--	--	--	--	--	--	--	--	--	--	--	--	--	--	--	--	--	--	--	--	--	--	--	--	--	--	--	--	--	--	--	--	--	--	--	--	--	--	--	--	--	--	--	--	--	--	--	--	--	--	--	--	--	--	--	--	--	--	--	--	--	--	--	--	--	--	--	--	--	--	--	--	--	--	--	--	--	--	--	--	--	--	--	--	--	--	--	--	--	--	--	--	--	--	--	--	--	--	--	--	--	--	--	--	--	--	--	--	--	--	--	--	--	--	--	--	--	--	--	--	--	--	--	--	--	--	--	--	--	--	--	--	--	--	--	--	--	--	--	--	--	--	--	--	--	--	--	--	--	--	--	--	--	--	--	--	--	--	--	--	--	--	--	--	--	--	--	--	--	--	--	--	--	--	--	--	--	--	--	--	--	--	--	--	--	--	--	--	--	--	--	--	--	--	--	--	--	--	--	--	--	--	--	--	--	--	--	--	--	--	--	--	--	--	--	--	--	--	--	--	--	--	--	--	--	--	--	--	--	--	--	--	--	--	--	--	--	--	--	--	--	--	--	--	--	--	--	--	--	--	--	--	--	--	--	--	--	--	--	--	--	--	--	--	--	--	--	--	--	--	--	--	--	--	--	--	--	--	--	--	--	--	--	--	--	--	--	--	--	--	--	--	--	--	--	--	--	--	--	--	--	--	--	--	--	--	--	--	--	--	--	--	--	--	--	--	--	--	--	--	--	--	--	--	--	--	--	--	--	--	--	--	--	--	--	--	--	--	--	--	--	--	--	--	--	--	--	--	--	--	--	--	--	--	--	--	--	--	--	--	--	--	--	--	--	--	--	--	--	--	--	--	--	--	--	--	--	--	--	--	--	--	--	--	--	--	--	--	--	--	--	--	--	--	--	--	--	--	--	--	--	--	--	--	--	--	--	--	--	--	--	--	--	--	--	--	--	--	--	--	--	--	--	--	--	--	--	--	--	--	--	--	--	--	--	--	--	--	--	--	--	--	--	--	--	--	--	--	--	--	--	--	--	--	--	--	--	--	--	--	--	--	--	--	--	--	--	--	--	--	--	--	--	--	--	--	--	--	--	--	--	--	--	--	--	--	--	--	--	--	--	--	--	--	--	--	--	--	--	--	--	--	--	--	--	--	--	--	--	--	--	--	--	--	--	--	--	--	--	--	--	--	--	--	--	--	--	--	--	--	--	--	--	--	--	--	--	--	--	--	--	--	--	--	--	--	--	--	--	--	--	--	--	--	--	--	--	--	--	--	--	--	--	--	--	--	--	--	--	--	--	--	--	--	--	--	--	--	--	--	--	--	--	--	--	--	--	--	--	--	--	--	--	--	--	--	--	--	--	--	--	--	--	--	--	--	--	--	--	--	--	--	--	--	--	--	--	--	--	--	--	--	--	--	--	--	--	--	--	--	--	--	--	--	--	--	--	--	--	--	--	--	--	--	--	--	--	--	--	--	--	--	--	--	--	--	--	--	--	--	--	--	--	--	--	--	--	--	--	--	--	--	--	--	--	--	--	--	--	--	--	--	--	--	--	--	--	--	--	--	--	--	--	--	--	--	--	--	--	--	--	--	--	--	--

Correlated quantum systems in intense fields

– dynamics of multiple and highly-charged ions

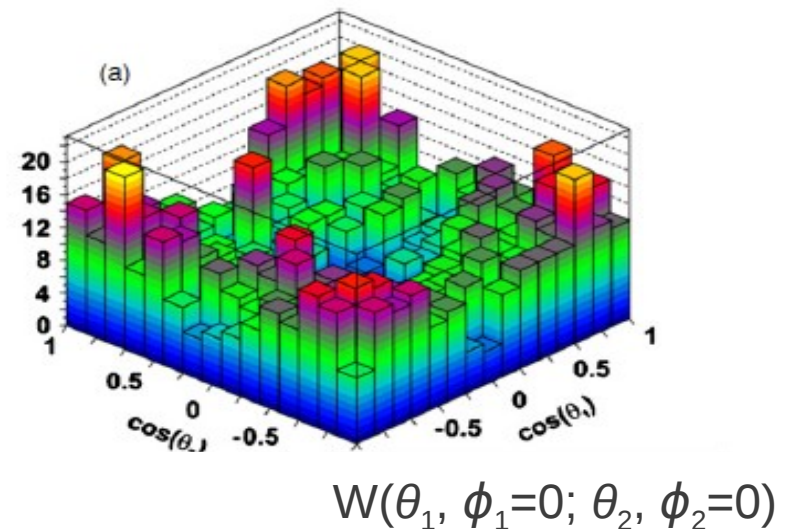
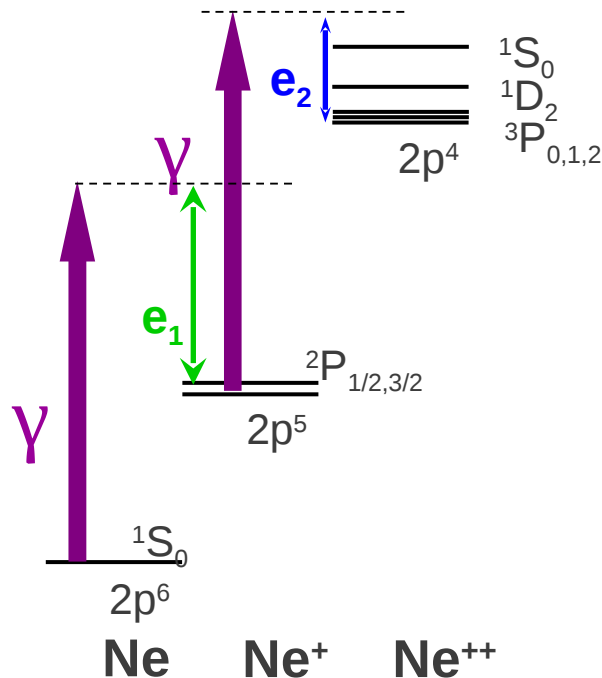
- ◆ Properties of many-electron & (super-) heavy elements
correlated (ab-initio) many-body techniques
- ◆ Multi-photon & electron dynamics in intense FEL radiation
correlated many-electron dynamics



Correlated quantum systems in intense fields

– dynamics of multiple and highly-charged ions

- ◆ Properties of many-electron & (super-) heavy elements
correlated (ab-initio) many-body techniques
- ◆ Multi-photon & electron dynamics in intense FEL radiation
correlated many-electron dynamics



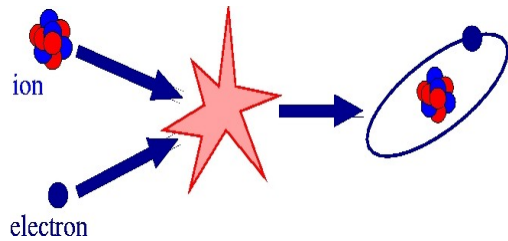
Correlated quantum systems in intense fields

– dynamics of multiple and highly-charged ions

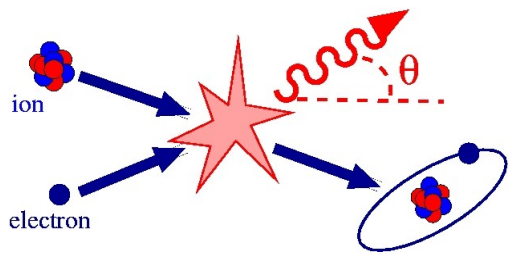
- ➡ Ionization & recombination in strong Coulomb fields
 - correlated photon and/or electron emission
- ◆ Coupling of deeply-bound electrons to the continuum
 - correlation induced autoionization & capture
- ➡ Properties of many-electron & (super-) heavy elements
 - correlated (ab-initio) many-body techniques
- ◆ Multi-photon & electron dynamics in intense FEL radiation
 - correlated many-electron dynamics

Ionization & recombination in strong Coulomb fields

– exploring the light-matter interactions

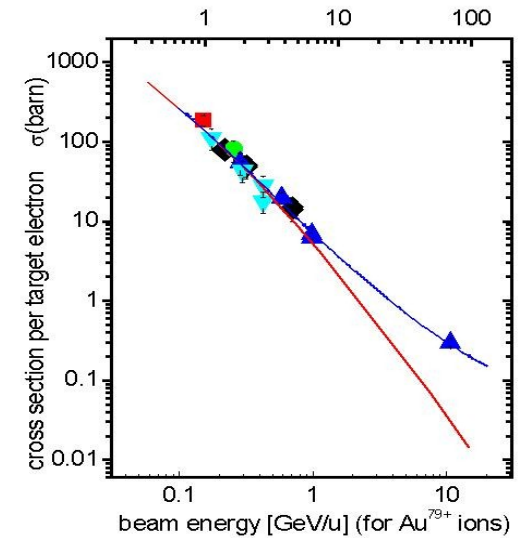
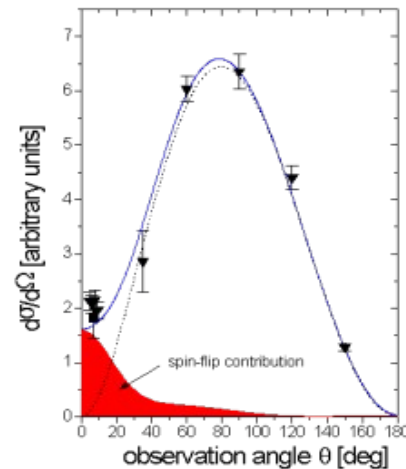


total cross sections



angular distributions

$$\sigma \sim \sum_{\text{polarization}} \int d\Omega |M|^2$$



$$\frac{d\sigma}{d\Omega}(\theta) \sim \sum_{\text{polarization}} |M|^2$$

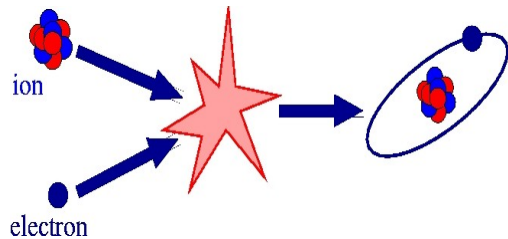
photoionization



recombination

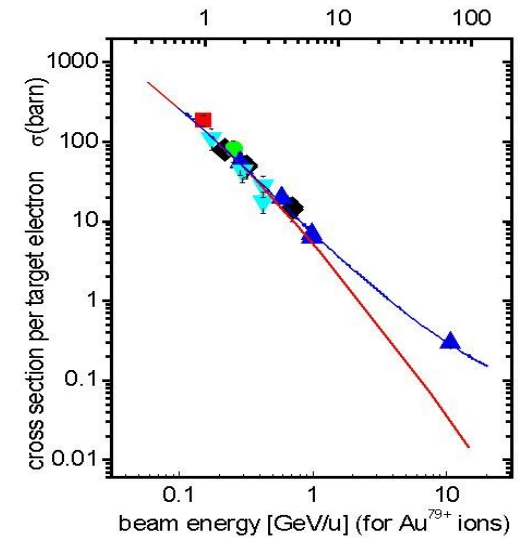
Ionization & recombination in strong Coulomb fields

– exploring the light-matter interactions



total cross sections

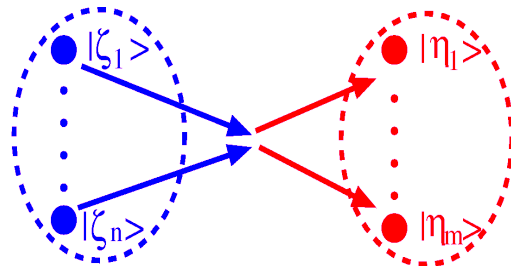
$$\sigma \sim \sum_{\text{polarization}} \int d\Omega |M|^2$$



Initial state

$(t \rightarrow -\infty)$

$$\hat{\rho}_i$$



Final state

$(t \rightarrow +\infty)$

$$\hat{\rho}_f$$

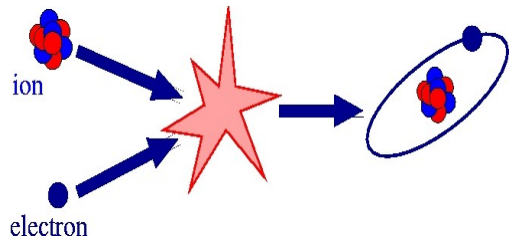
\hat{S} - scattering operator

$$\hat{\rho}_f = \hat{S} \hat{\rho}_i \hat{S}^+$$

$$\rho = (\mu_s, J, J'; E; l, \mu_l \dots \text{density matrix})$$

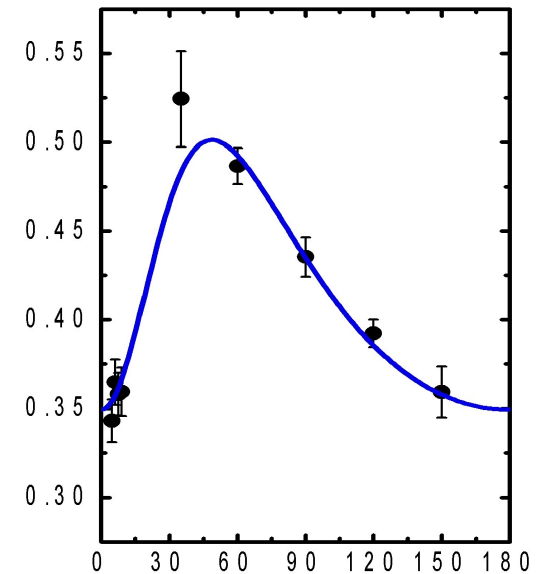
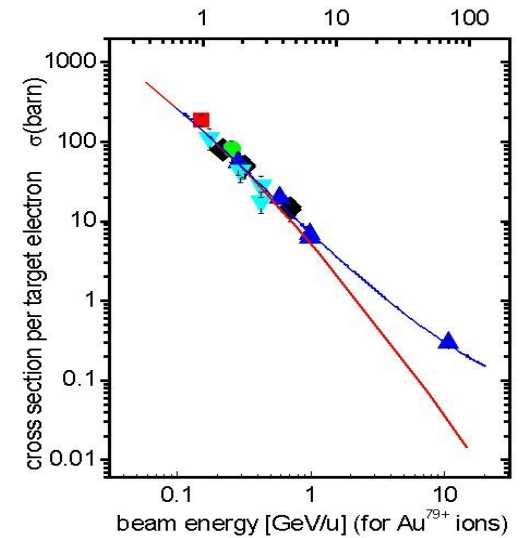
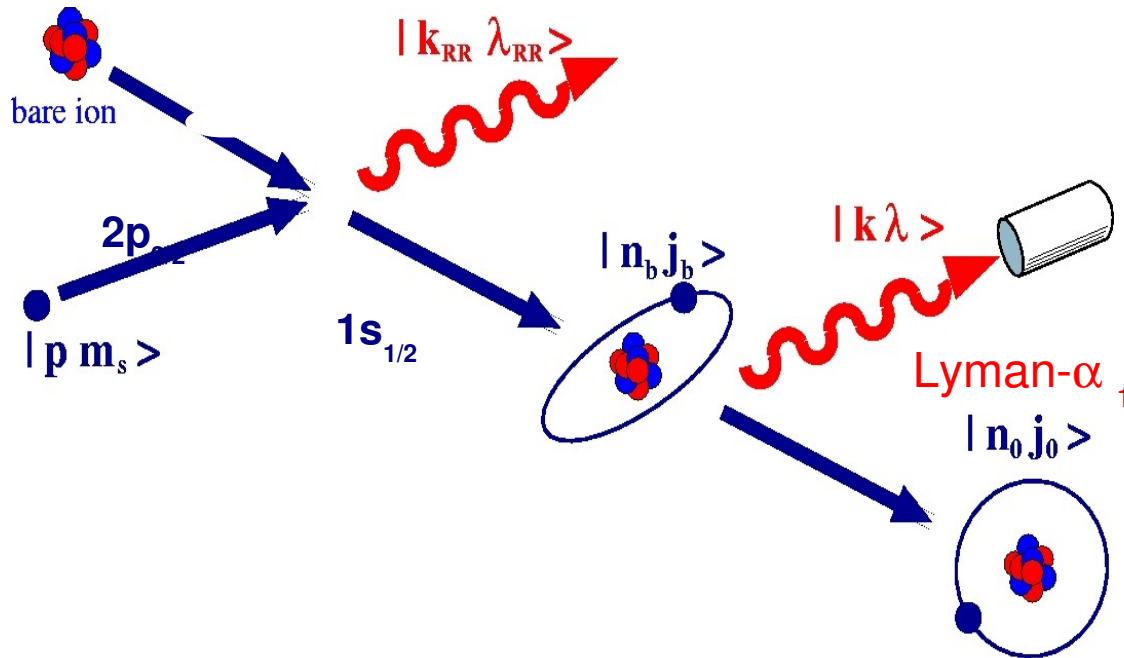
Ionization & recombination in strong Coulomb fields

– exploring the light-matter interactions

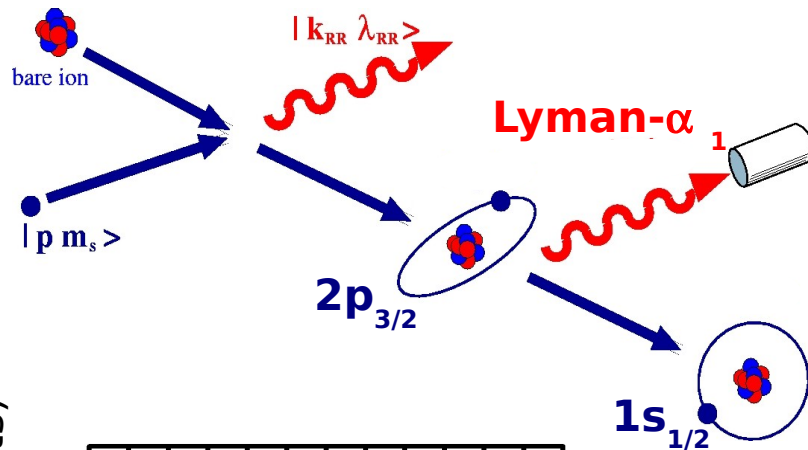


total cross sections

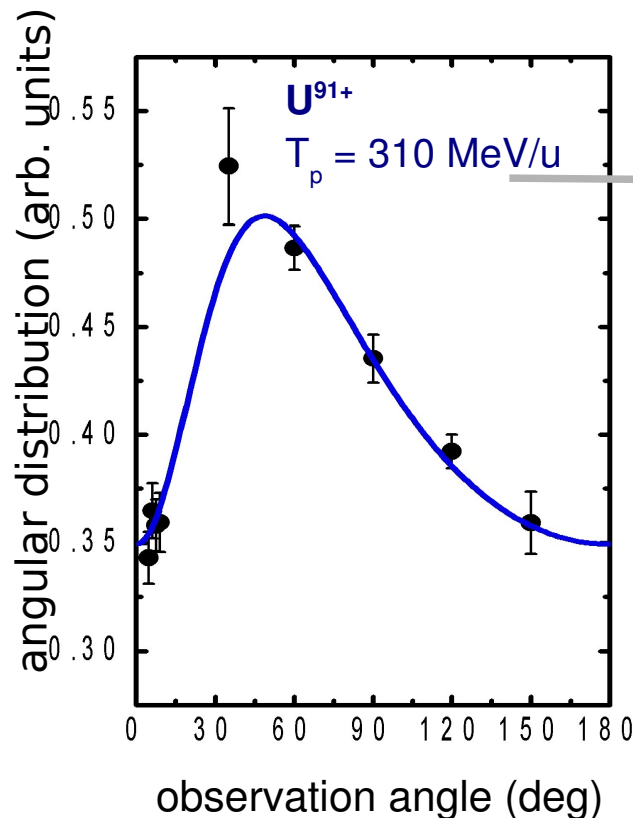
$$\sigma \sim \sum_{\text{polarization}} \int d\Omega |M|^2$$



Capture into the $2p_{3/2}$ excited states of initially bare ions



- ✦ Magnetic sublevel population of the residual ion can not be measured **directly**
- ✦ **But:** knowledge on population of excited ion state may be derived from the properties of subsequent decay



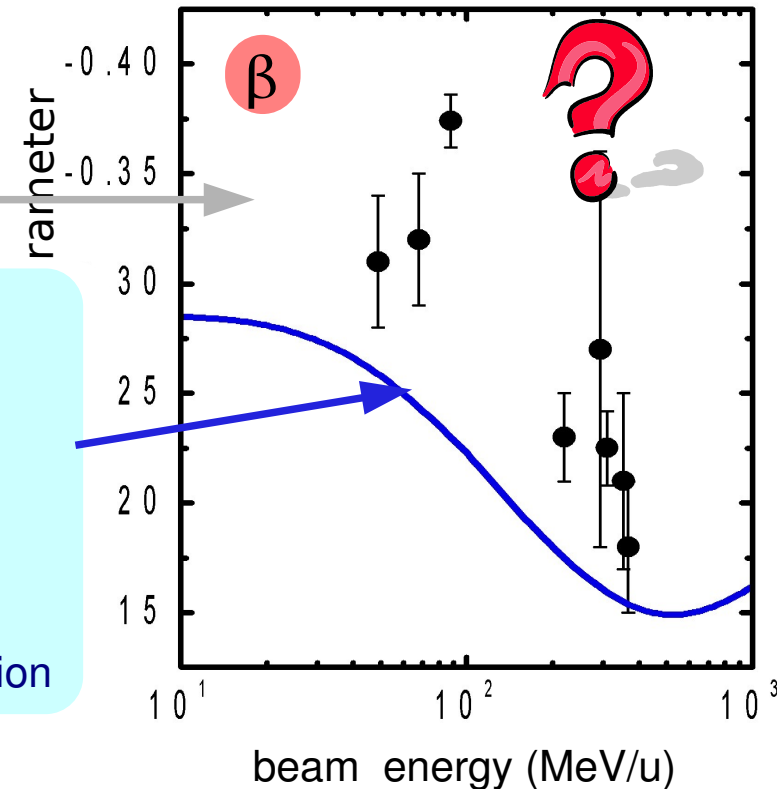
fitting

$$W(\theta) \propto 1 + \beta P_2(\cos \theta)$$

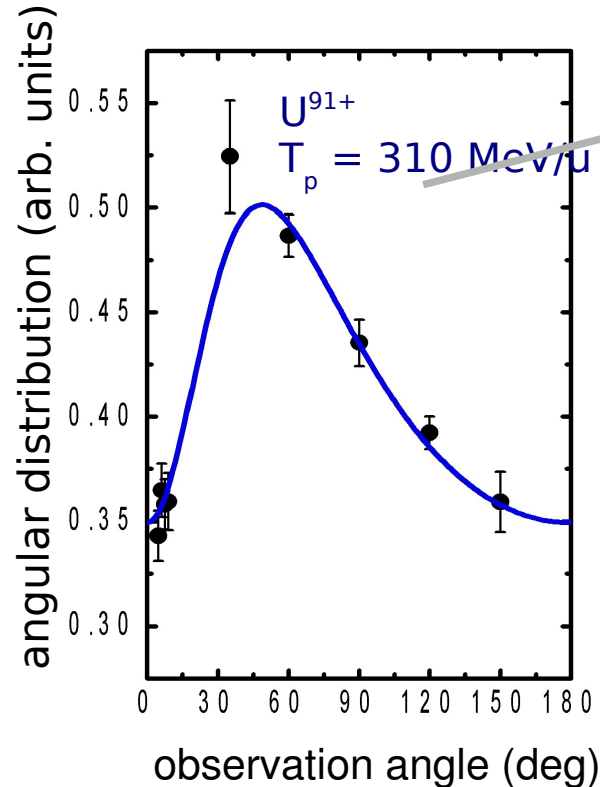
Theory:

$$\beta = \frac{1}{2} \frac{\sigma_{\mu_b = \pm 3/2} - \sigma_{\mu_b = \pm 1/2}}{\sigma_{\mu_b = \pm 3/2} + \sigma_{\mu_b = \pm 1/2}}$$

alignment of the $2p_{3/2}$ state:
relative sublevel $|j_b m_b\rangle$ population

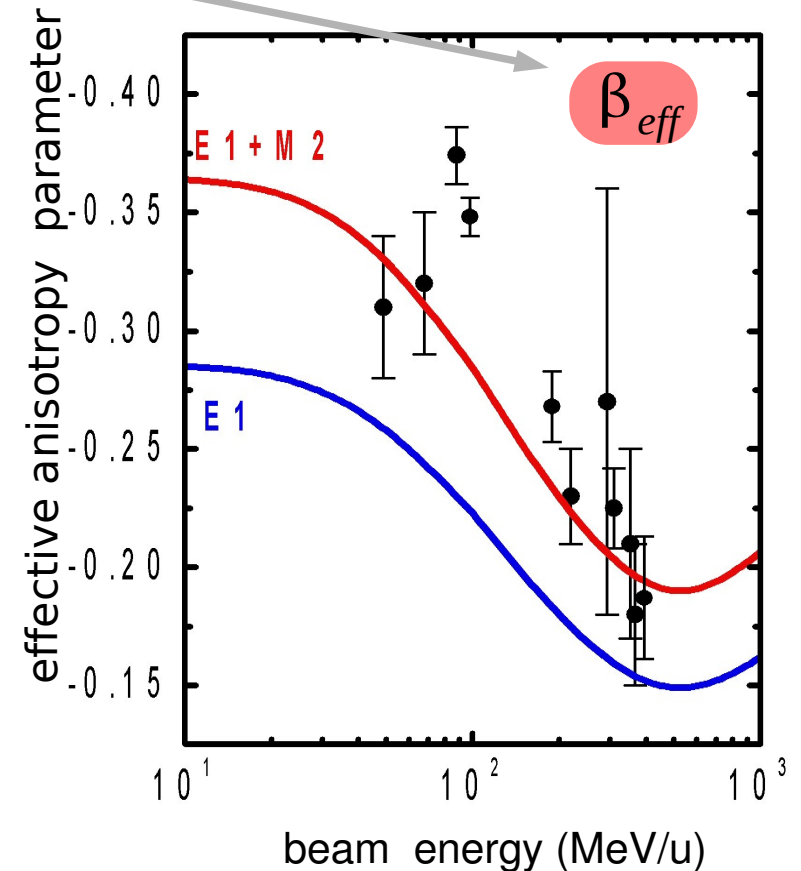


E1-M2 multipole mixing: Alignment of the $2p_{3/2}$ state



fitting

$$W(\theta) \propto 1 + \beta_{eff} P_2(\cos \theta)$$



➡ Dynamical alignment studies enables one to explore magnetic interactions in the bound-bound transitions in H-like ions !

Effective anisotropy parameter: Multipole contributions

$$W(\theta) \propto 1 + \beta_{eff} P_2(\cos \theta)$$

effective anisotropy parameter

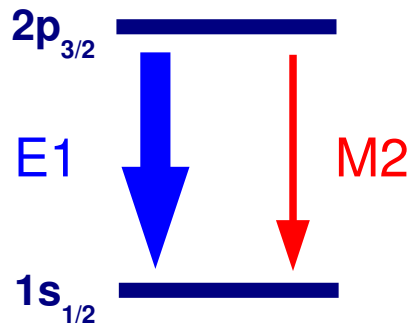
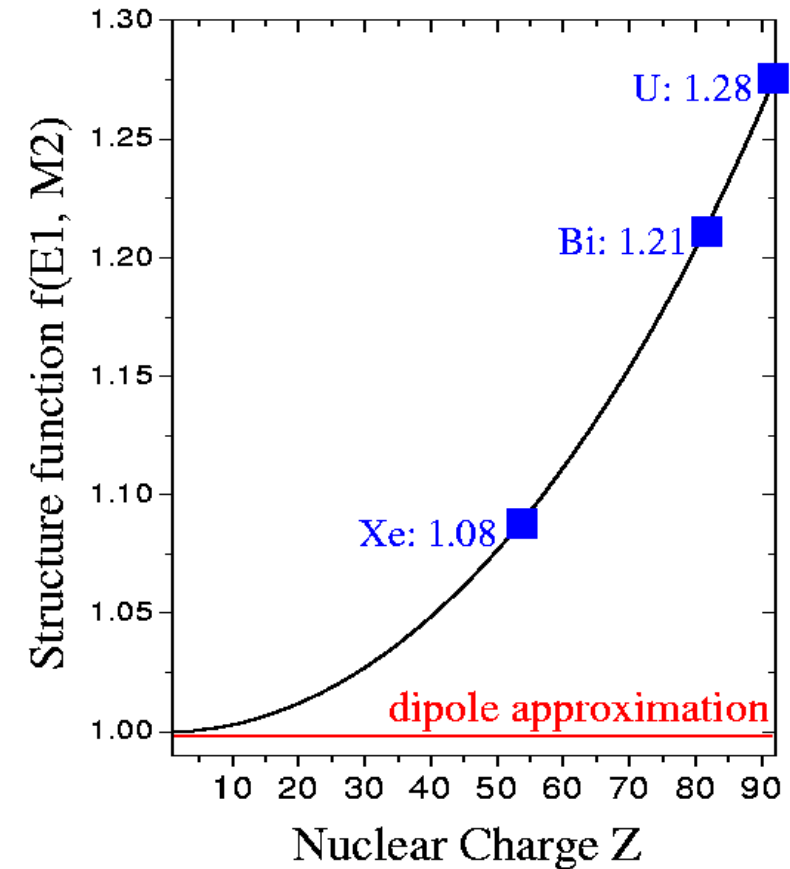


$$\beta_{eff} = \frac{1}{2} \frac{\sigma(\pm 3/2) - \sigma(\pm 1/2)}{\sigma(\pm 3/2) + \sigma(\pm 1/2)} * f(E1, M2)$$

alignment parameter
(capture process)

structure function
(ion)

$$f(E1, M2) \propto 1 + 2\sqrt{3} \frac{\langle |M2| \rangle}{\langle |E1| \rangle}$$



➡ In contrast, contributions to decay rates appear additive:

$$\frac{\Gamma_{M2}}{\Gamma_{tot}} \propto \frac{|\langle |M2| \rangle|^2}{|\langle |E1| \rangle|^2} \propto 0.008$$

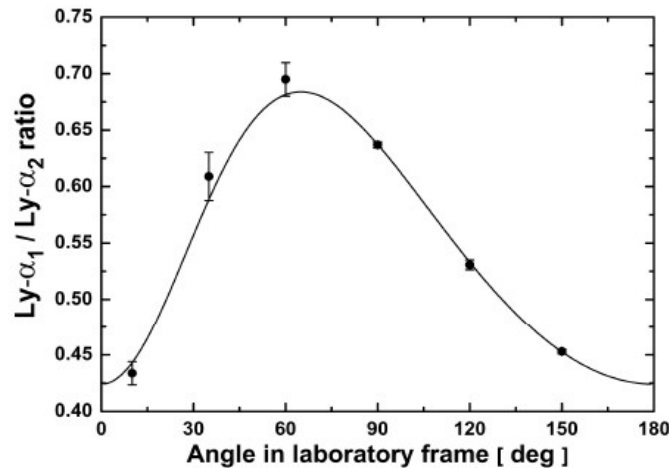


even for U⁹¹⁺

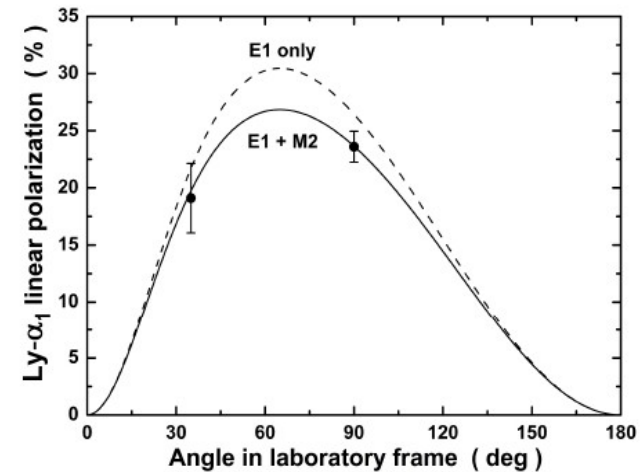
Elementary processes in strong Coulomb fields

– How can one directly “measure” multipole fields ?

Lyman- α_1 ($2p_{3/2} \rightarrow 1s_{1/2}$) for H-like U^{91+} ions:



Angular distribution



Linear polarization

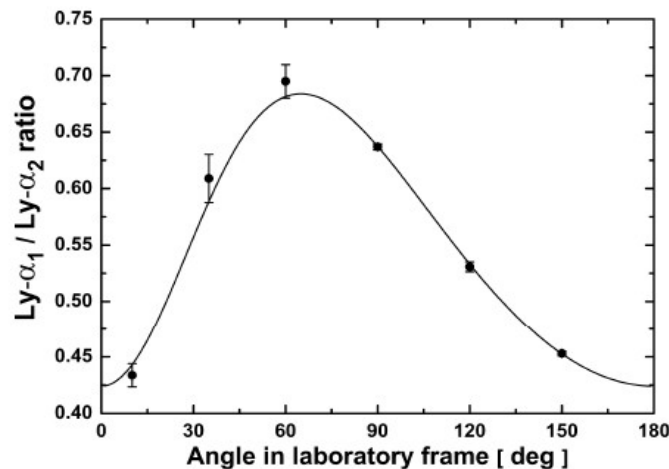
$$W(\theta) \propto 1 + \beta_{20}^{\text{eff}} \left(1 - \frac{3}{2} \sin^2 \theta \right)$$

$$P(\theta) = \frac{-\frac{3}{2} \gamma_{20}^{\text{eff}} \sin^2 \theta}{1 + \beta_{20}^{\text{eff}} \left(1 - \frac{3}{2} \sin^2 \theta \right)}$$

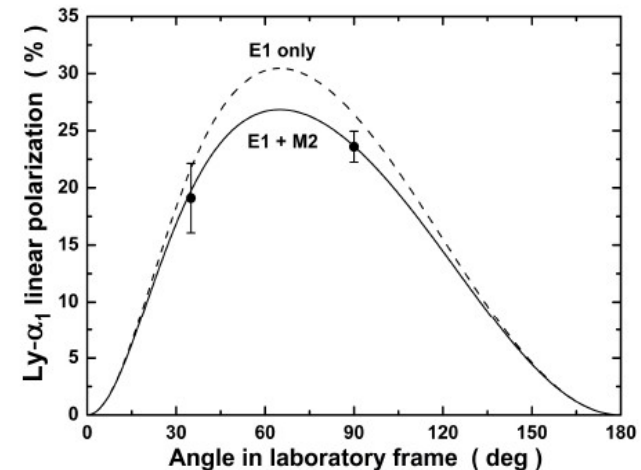
Elementary processes in strong Coulomb fields

– How can one directly “measure” multipole fields ?

Lyman- α_1 ($2p_{3/2} \rightarrow 1s_{1/2}$) for H-like U^{91+} ions:



Angular distribution



Linear polarization

$$W(\theta) \propto 1 + \beta_{20}^{\text{eff}} \left(1 - \frac{3}{2} \sin^2 \theta \right)$$

$f(A_2, a_{M2}/a_{E1})$

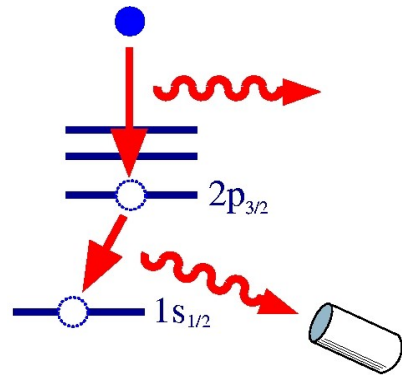
$$P(\theta) = \frac{-\frac{3}{2} \gamma_{20}^{\text{eff}} \sin^2 \theta}{1 + \beta_{20}^{\text{eff}} \left(1 - \frac{3}{2} \sin^2 \theta \right)}$$

Alignment parameter A_2		Amplitude ratio a_{M2}/a_{E1}	
Experiment	Theory	Experiment	Theory
-0.451 ± 0.017	-0.457	0.083 ± 0.014	0.0844

➡ Model-independent and precise determination of the alignment and amplitude ratio.

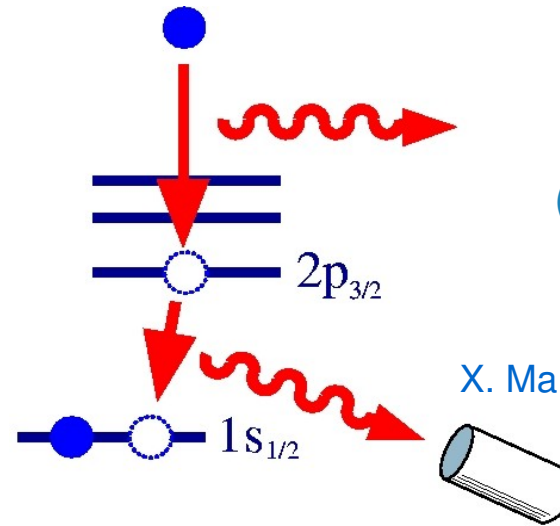
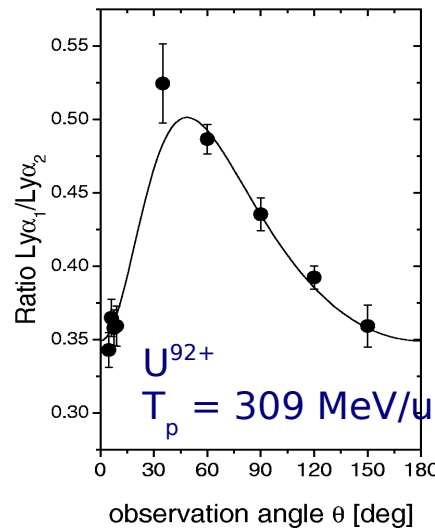
Details matter: Adding one electron

-- Lyman- α vs. K- α emission from high-Z ions



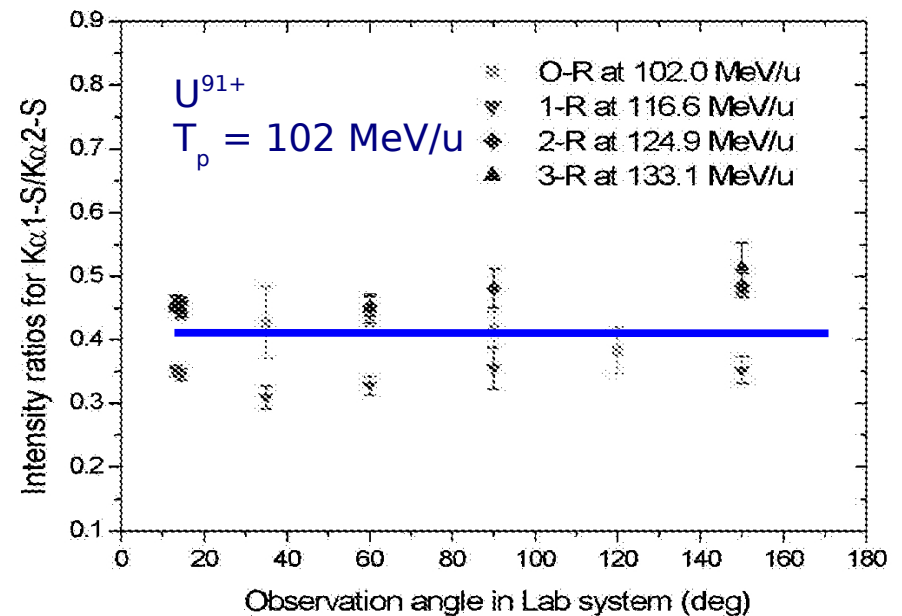
(initially) bare ion

Ly- α_1 is strongly anisotropic



(initially) H-like ion

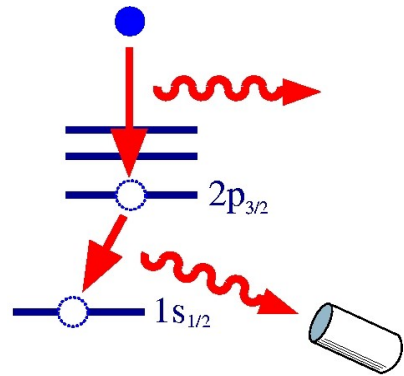
X. Ma et al, PRA 68 (2003) 042712.



K- α_1 is isotropic

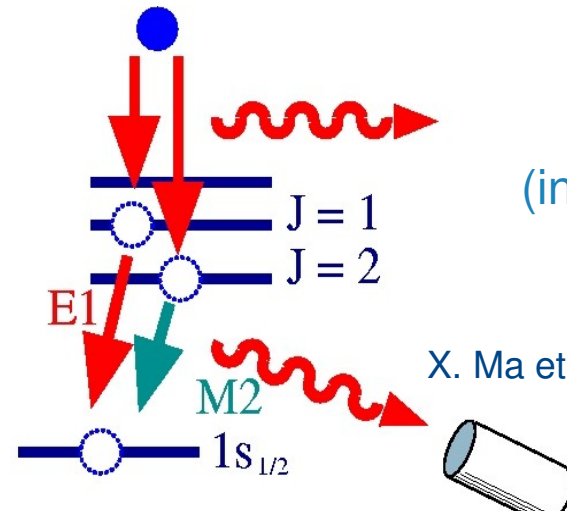
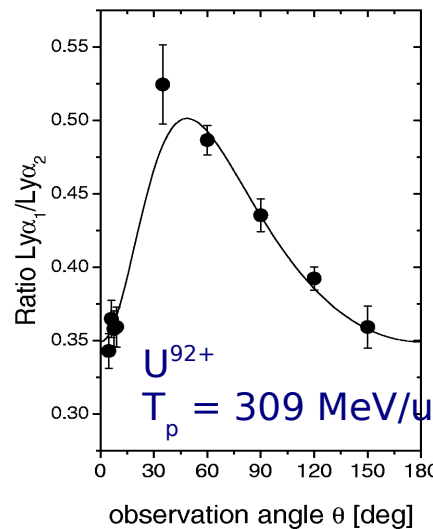
Details matter: Adding one electron

-- Lyman- α vs. K- α emission from high-Z ions



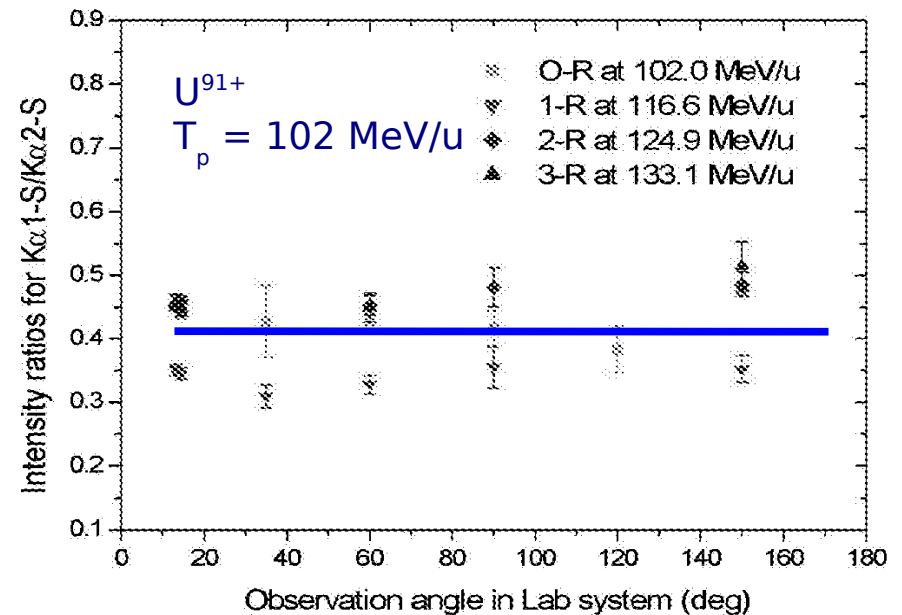
(initially) bare ion

Ly- α_1 is strongly anisotropic



(initially) H-like ion

X. Ma et al, PRA 68 (2003) 042712.



$$\text{E1: } W(\theta)_{E1} \sim 1 + \frac{1}{\sqrt{2}} A_2(J=1) P_2(\cos \theta)$$

$$\text{M2: } W(\theta)_{M2} \sim 1 - \sqrt{\frac{5}{14}} A_2(J=2) P_2(\cos \theta)$$

K- α_1 is isotropic

K- α decay of highly-charged ions

-- angular distribution as „observed“ in experiments

$$W(\theta)_{K\alpha_1} \sim N_{J=1} W_{E1}(\theta) + N_{J=2} W_{M2}(\theta)$$

A. Surzhykov et al., PRA 73 (2006) 032716.

$$= 1 + \left(N_{J=1} \frac{1}{\sqrt{2}} A_2(J=1) - N_{J=2} \sqrt{\frac{5}{14}} A_2(J=2) \right) P_2(\cos \theta)$$

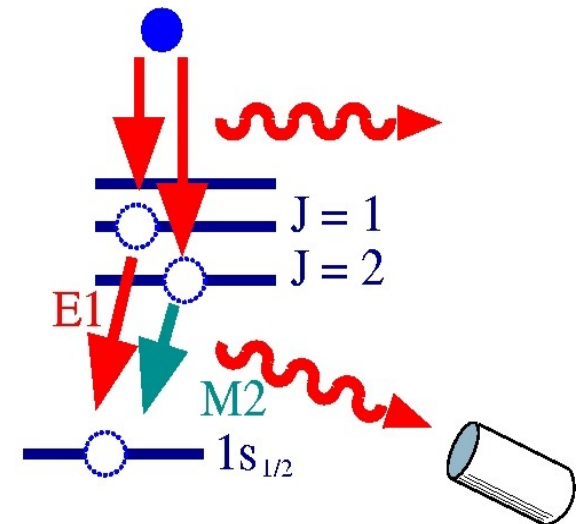
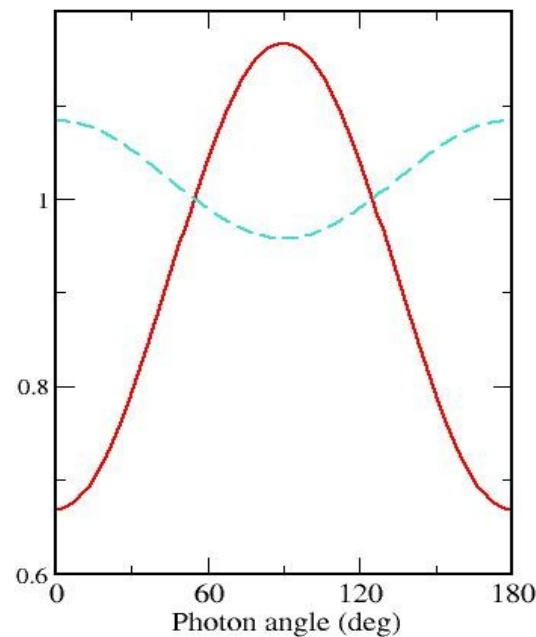
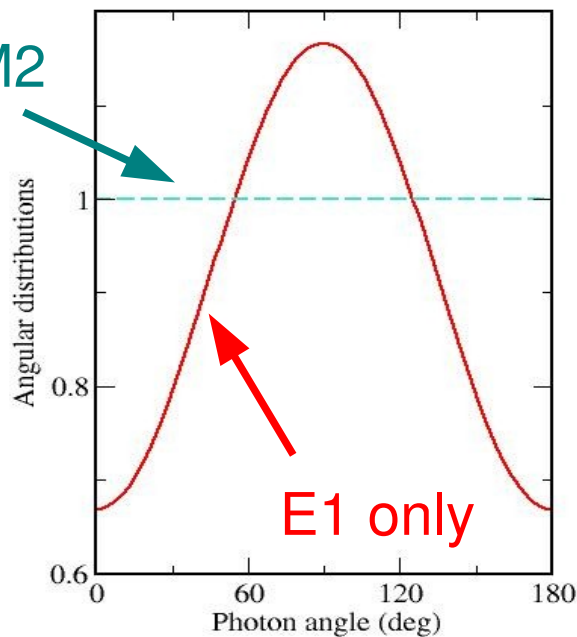
$N_{J=1}, N_{J=2}$ relative populations of J=1, 2 states

$$N_{J=1} = N_{J=2} = \frac{1}{2}$$

$$N_{J=1} = \frac{3}{8} \quad N_{J=2} = \frac{5}{8}$$

Calculations have been done for L-REC of U^{91+} with $T_p = 100$ MeV/u

E1+M2



K- α decay of highly-charged ions

-- for 220 MeV/u U^{90+} ions following REC

$$W(\theta)_{K\alpha_1} \sim N_{J=1} W_{E1}(\theta) + N_{J=2} W_{M2}(\theta)$$

$$= 1 + \left(N_{J=1} \frac{1}{\sqrt{2}} A_2(J=1) - N_{J=2} \sqrt{\frac{5}{14}} A_2(J=2) \right) P_2(\cos \theta)$$

A. Surzhykov et al., PRA 73 (2006) 032716.

- Relative populations of the $J = 1, 2$ levels following REC (IPM model):

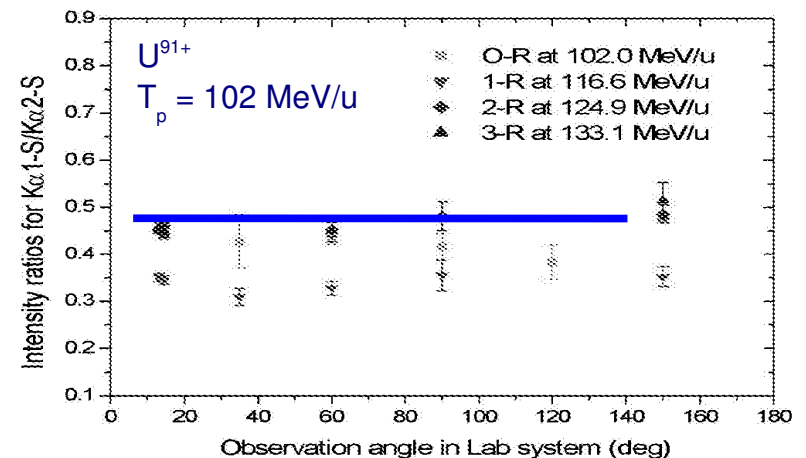
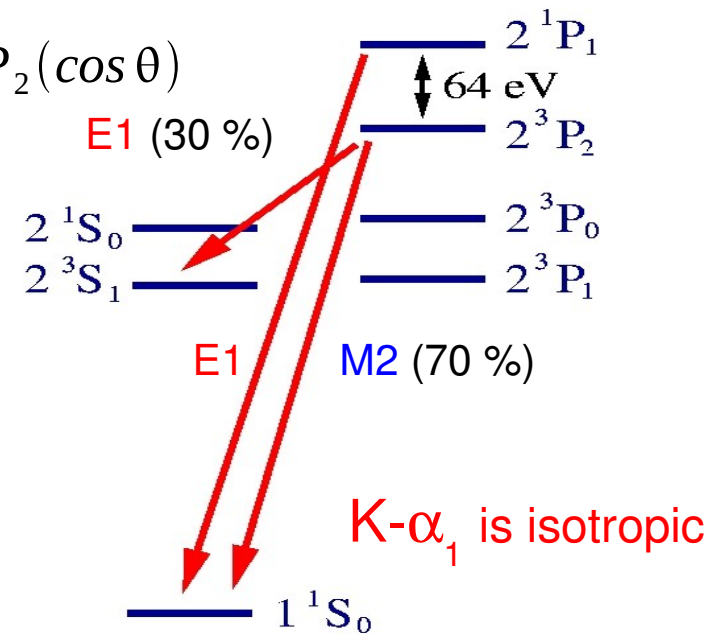
$$\frac{N_{J=1}}{N_{J=2}} = \frac{3}{5}$$

- By taking into account ${}^3P_2 \rightarrow {}^3S_1$ channel:

$$\frac{N_{J=1}}{N_{J=2}} = \frac{6}{7}$$

initial 'capture' populations
+ branching fractions

$$\left(\frac{N_{J=1} - N_{J=2}}{N_{J=1} + N_{J=2}} \right)_{theory} \approx -0.08$$

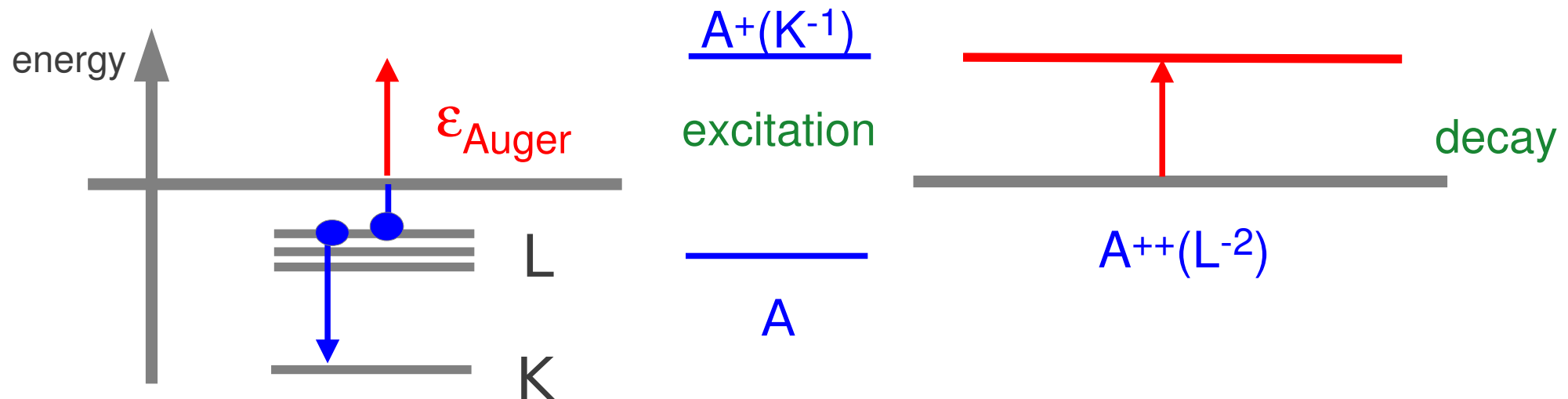


Correlated quantum systems in intense fields

– dynamics of multiple and highly-charged ions

- ◆ Ionization & recombination in strong Coulomb fields
correlated photon and/or electron emission
- ◆ Coupling of deeply-bound electrons to the continuum
correlation-induced autoionization & capture
- ◆ Properties of many-electron & (super-) heavy elements
correlated (ab-initio) many-body techniques
- ◆ Multi-photon & electron dynamics in intense FEL radiation
correlated many-electron dynamics

Auger emission from inner-shell excited states



$$H = \sum_i (h_i + u(r_i))$$

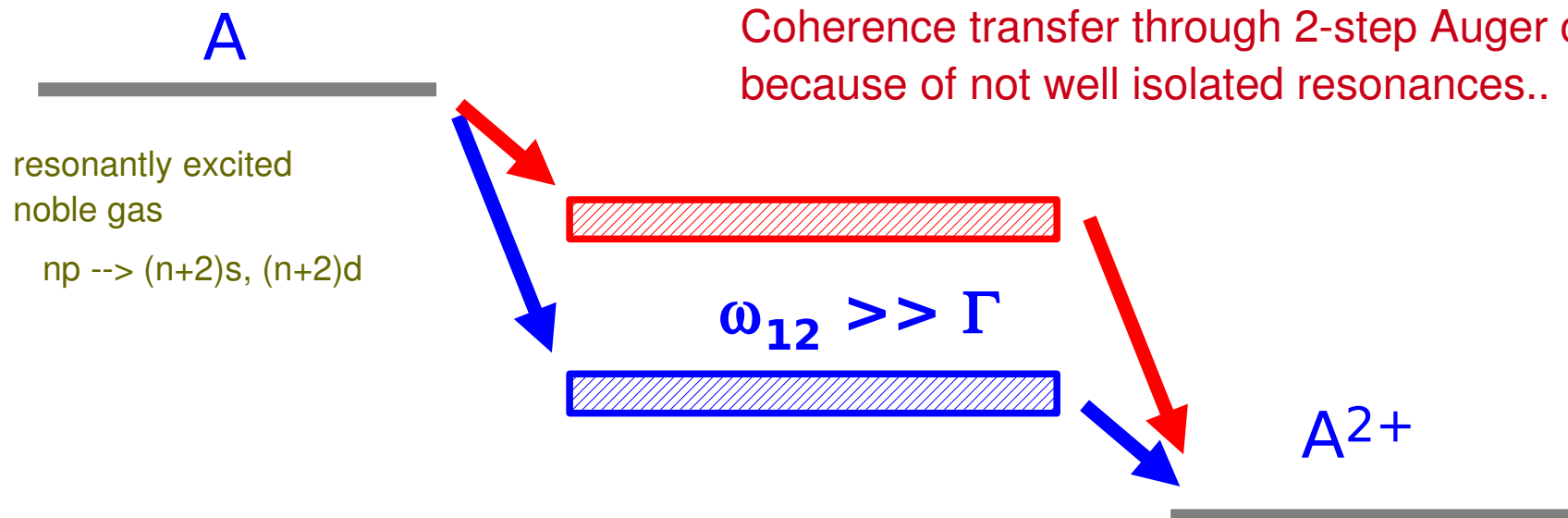
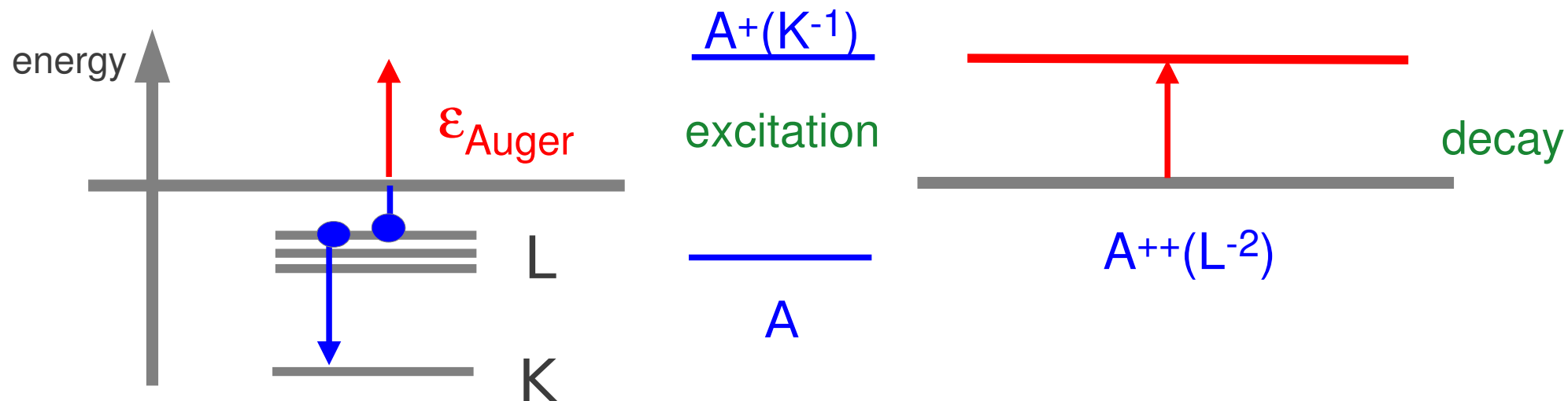
$$H = \sum_i h_i + \sum_{i < j} \frac{1}{r_{ij}}$$

Wentzel's ansatz: Autoionization is caused by electron-electron interactions which cannot be considered in an one-particle picture.

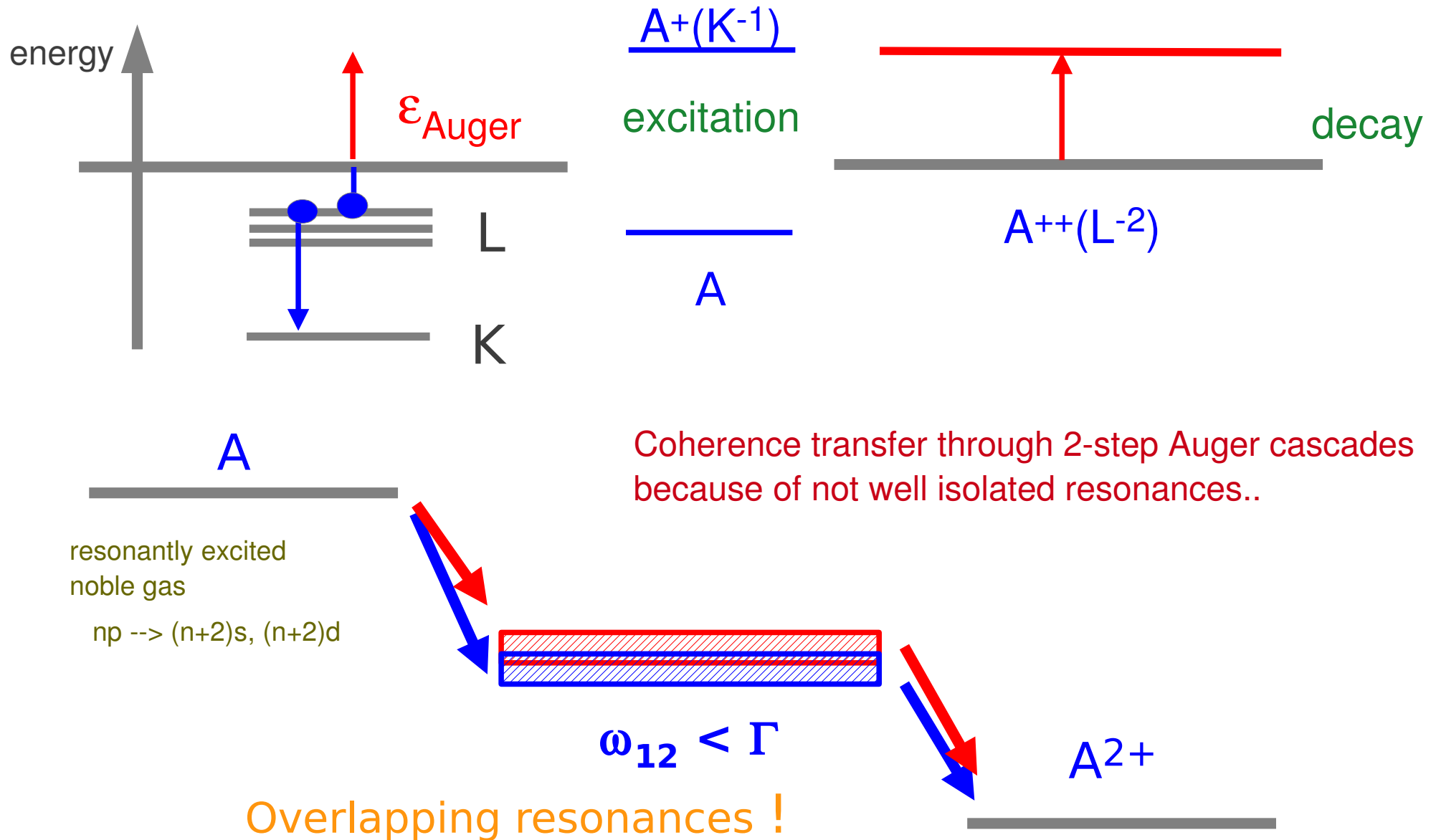
$$\sum_{i < j} \frac{1}{r_{ij}} - \sum_i u(r_i)$$

Ideal tool for a better understanding of electronic correlations !

Auger emission from inner-shell excited states



Auger emission from inner-shell excited states





A

np \rightarrow (n+2)s, (n+2)d

$$\omega_{12} < \Gamma$$

A²⁺

double slit

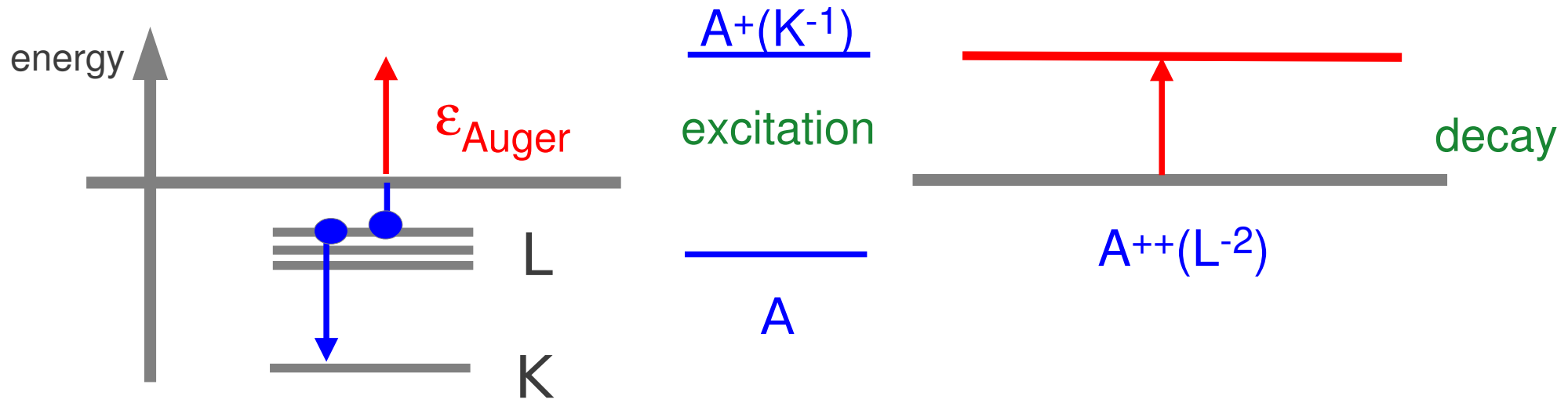
wall

$P_1 \sim |\phi|^2$

$P_{12} = |\phi_1 + \phi_2|^2$

How depend the Auger electron emission and, in particular, their angular distribution on the splitting of the resonances ?

Auger emission from inner-shell excited states



$$H_{DCB} = \sum_i h_D(i) + \sum_{i<j} \frac{1}{r_{ij}} + \sum_{i<j} \frac{1}{2r_{ij}} \left[\alpha_i \alpha_j + \frac{(\alpha_i r_i)(\alpha_j r_j)}{r_{ij}^2} \right]$$

Wentzel's ansatz: Autoionization is caused by electron-electron interactions which cannot be considered in an one-particle picture.

$$\sum_{i<j} \frac{1}{r_{ij}} + b(i, j) - \sum_i u(r_i)$$

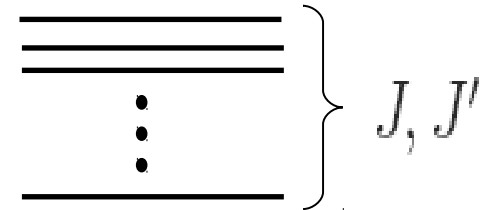
Breit interaction

Coupling of deeply-bound electrons to the continuum

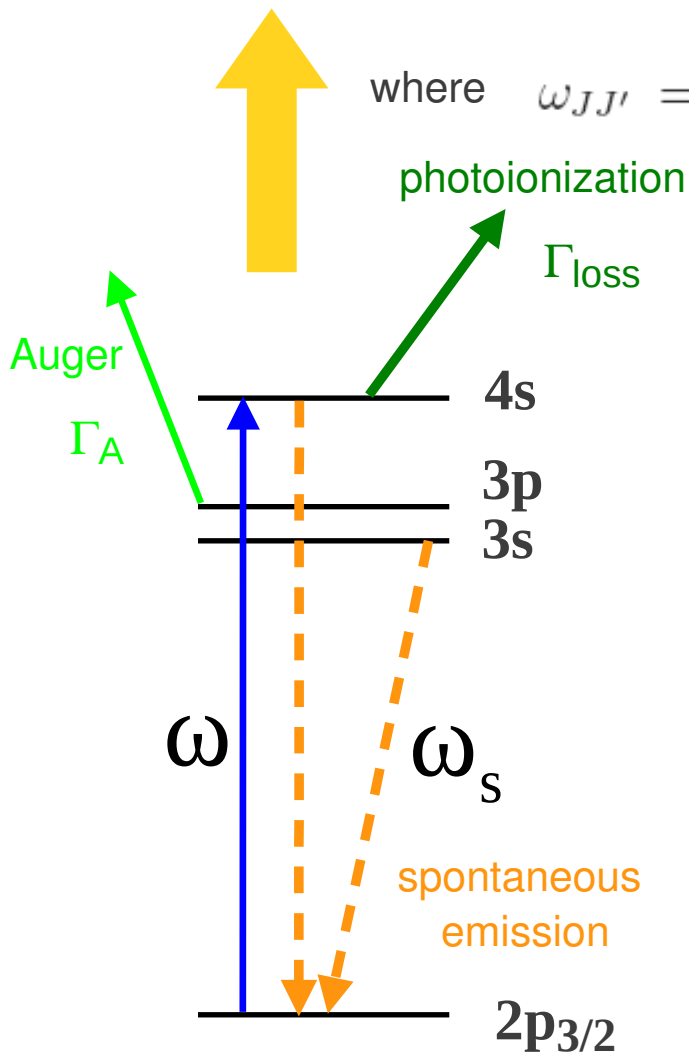
– correlation-induced autoionization and capture

Quantum evolution of the density operator:

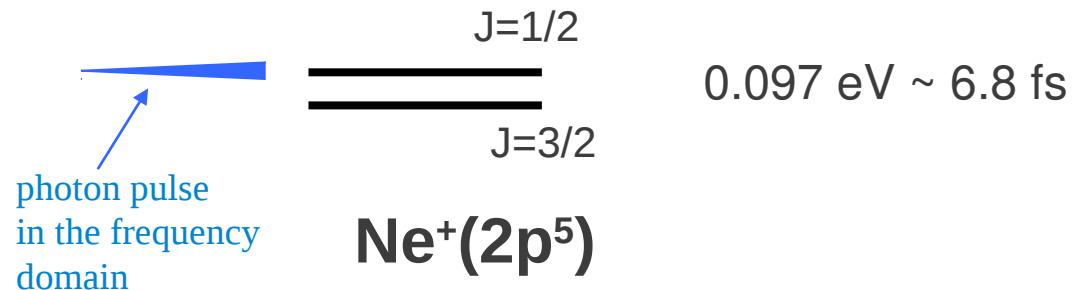
$$\rho_{kq}(J, J'; t) = \rho_{kq}(J, J'; t_1) \exp[(i\omega_{JJ'} - \Gamma_{JJ'})(t - t_1)]$$



where $\omega_{JJ'} = E_J - E_{J'}$ $\Gamma_{JJ'} = (\Gamma_J + \Gamma_{J'})/2$



For short pulses, the excitation occurs coherently:



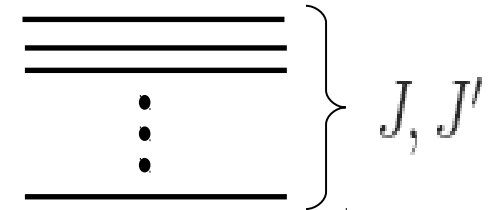
Coupling of deeply-bound electrons to the continuum

– correlation-induced autoionization and capture

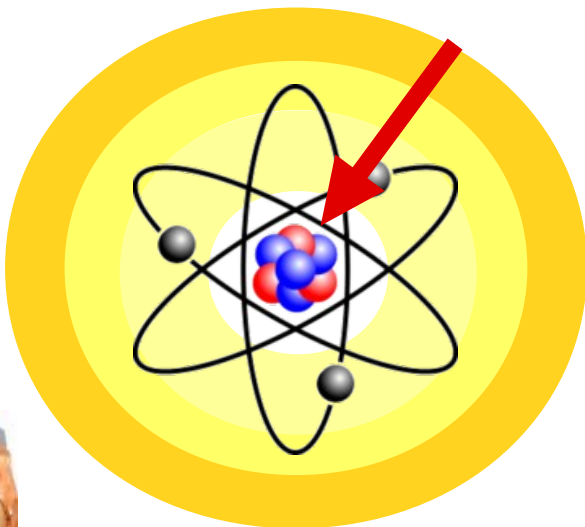
Quantum evolution of the density operator:

$$\rho_{kq}(J, J'; t) = \rho_{kq}(J, J'; t_1) \exp[(i\omega_{JJ'} - \Gamma_{JJ'})(t - t_1)]$$

where $\omega_{JJ'} = E_J - E_{J'}$ $\Gamma_{JJ'} = (\Gamma_J + \Gamma_{J'})/2$

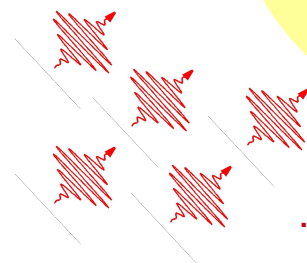
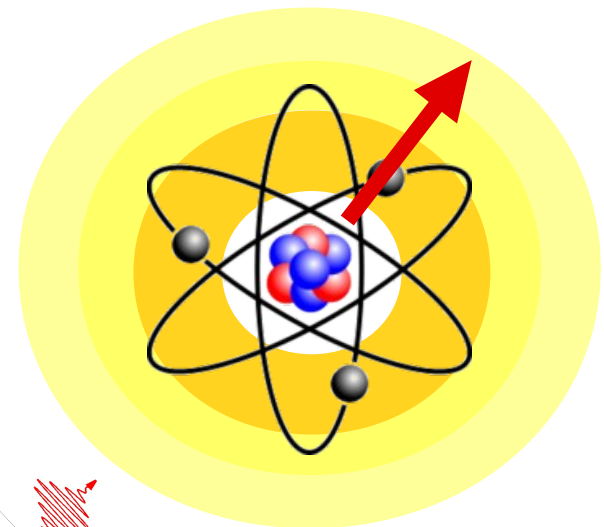
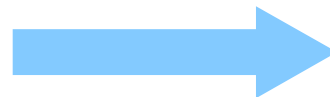


Intense optical and VUV laser



peels off the electrons layer by layer

intense FEL radiation



... but from the 'inside'

Correlated quantum systems in intense fields

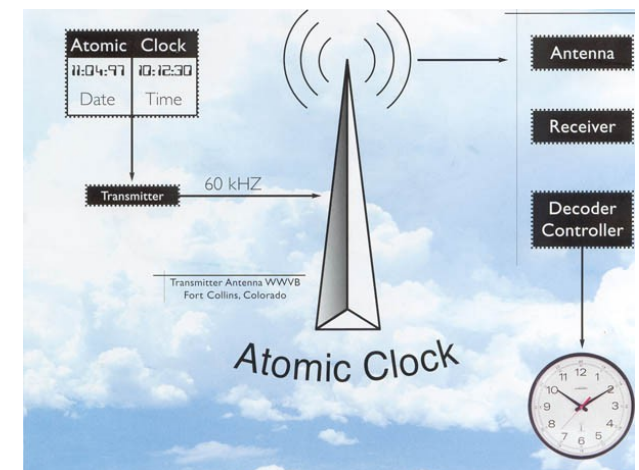
– dynamics of multiple and highly-charged ions

- ◆ Ionization & recombination in strong Coulomb fields
correlated photon and/or electron emission
- ◆ Coupling of deeply-bound electrons to the continuum
correlation-induced autoionization & capture
- ◆ Properties of many-electron & (super-) heavy elements
correlated (ab-initio) many-body techniques
- ◆ Multi-photon & electron dynamics in intense FEL radiation
correlated many-electron dynamics

Properties of many-electron & (super-) heavy elements

– there is a great need for accurate atomic amplitudes

- Analysis and interpretation of optical and x-ray spectra (astro physics)
- Diagnostics of astro physical and laboratory plasmas
- Development of UV/EUV light sources and lithograhpy
- Frequency standards and atomic clocks
- Spectroscopy on heavy and superheavy elements (actinides, transactinides)
- Isotope shifts and hyperfine structures
- Nonradiative (inner-shell) transitions and autoionization
- Ion recombination and photon emission
- Multi-photon processes
- ...
- ...
- „Complete experiments“
- Parity nonconservation (PNC)
- Search for electric dipole moments



Different 'systematic' ab-initio approaches exist

– to describe the electronic structure of atoms and ions

Multiconfiguration expansions

$$\psi_{\alpha}(P J M) = \sum_r^{n_c} c_r(\alpha) \gamma_r P J M >$$

Construct a 'physically motivated' basis in the N-electron Hilbert space.



Many-particle character
„electronic correlations“



Relativistic effects

Shell structure
static vs. dynamic correlations

Direct vs. indirect effects
QED corrections

Generalization of the knowledge about (Dirac's) one- or few-electron atoms in such a way to enable the „computation“ of heavy atoms and ions.

Electronic correlations: A simple man's view

Fine-structure of open-shell atoms and ions

	No. of levels for single configuration	
p^4	5	$p^3 s$
$p^3 s$	10	p^4

Electronic correlations: A simple man's view

Fine-structure of open-shell atoms and ions

	No. of levels for single configuration	
		$p^3 s$
p^4	5	
$p^3 s$	10	p^4
d^8	9	
$d^7 p$	110	

Electronic correlations: A simple man's view

Fine-structure of open-shell atoms and ions

No. of levels
for single configuration

p^4 5
 $p^3 s$ 10

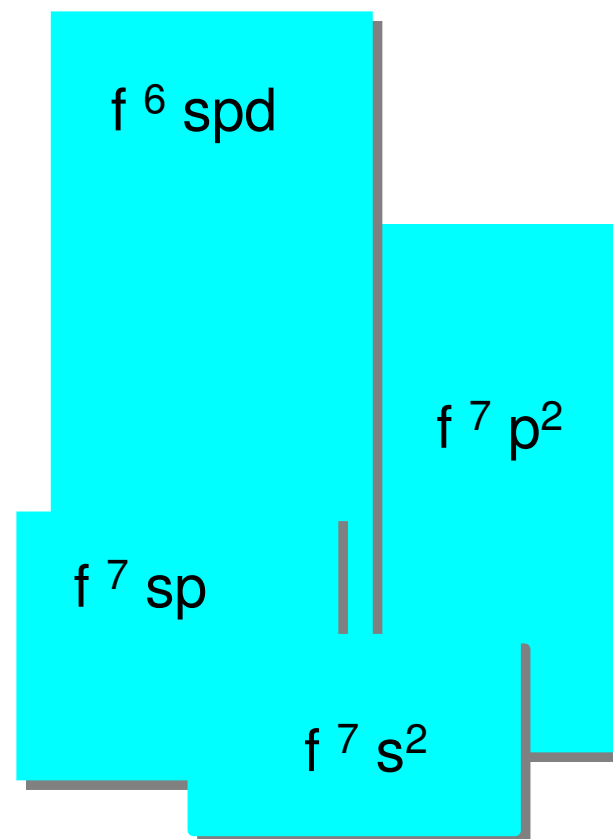
$p^3 s$

p^4

d^8 9
 $d^7 p$ 110

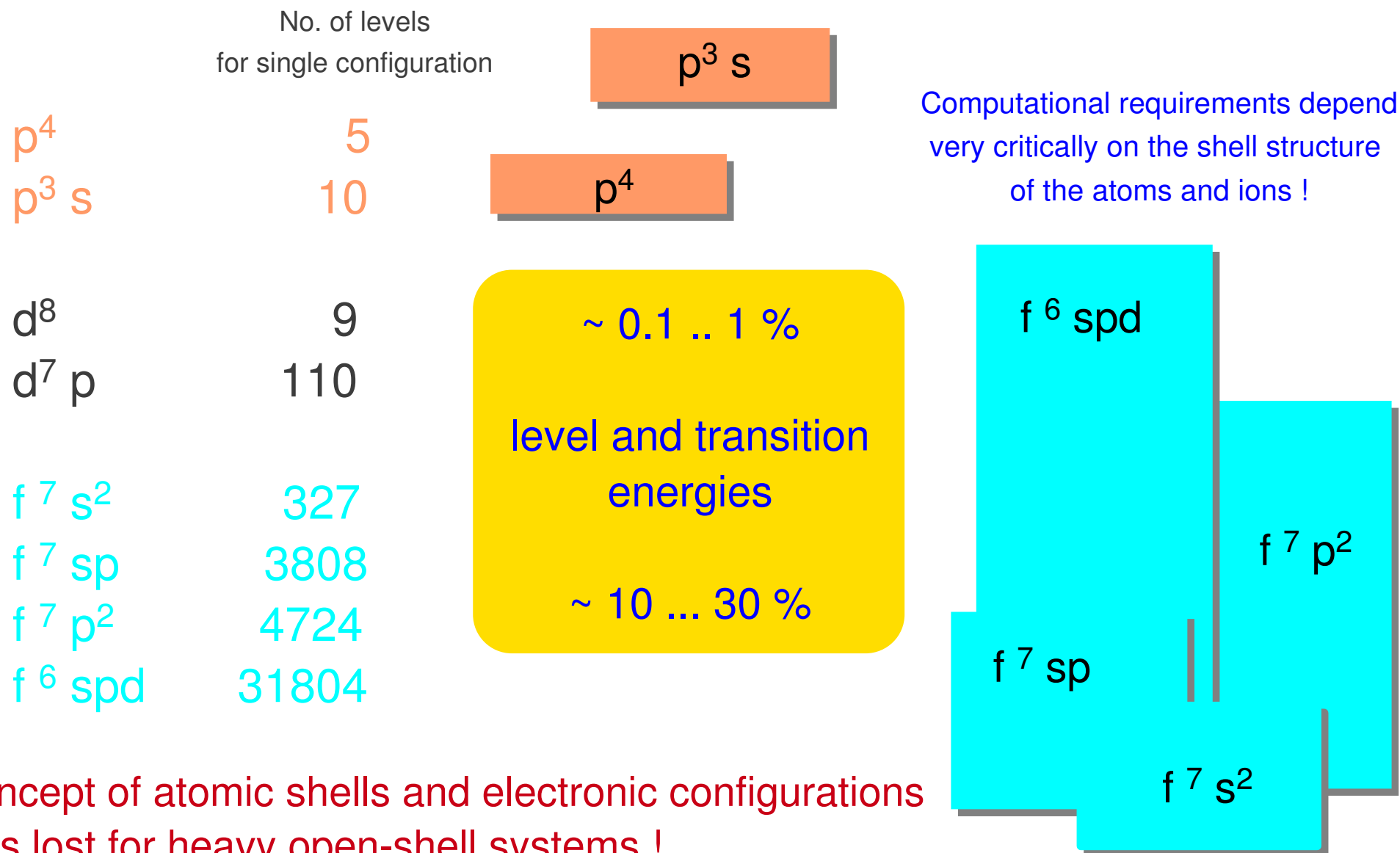
$f^7 s^2$ 327
 $f^7 sp$ 3808
 $f^7 p^2$ 4724
 $f^6 spd$ 31804

Computational requirements depend
very critically on the shell structure
of the atoms and ions !



Electronic correlations: A simple man's view

Fine-structure of open-shell atoms and ions



Electronic correlations: A simple man's view

Fine-structure of open shells

No. of levels
for single configuration

p^4

5

$p^3 s$

10

d^8

9

$d^7 p$

110

$f^7 s^2$

$f^7 s$

$p^3 s$

p^4

$f^6 spd$

$f^7 sp$

$f^7 p^2$

$f^7 s^2$

There is no simple path from one element to the next,
from one ionization state to the other,
from one property to ...

~ 10 ... 30 %

Concepts of shells and electronic configurations
gets lost in heavy open-shell systems !

Elements depend
on the shell structure
of atoms and ions !

Different 'systematic' ab-initio approaches exist

– to describe the electronic structure of atoms and ions

Multiconfiguration expansions

$$\psi_{\alpha}(P J M) = \sum_r^{n_c} c_r(\alpha) \gamma_r P J M >$$

Construct a 'physically motivated' basis in the N-electron Hilbert space.



Many-particle character
„electronic correlations“



Shell structure
static vs. dynamic correlations

Generalization of the knowledge
in such a way to enable the „cc

Energies & Wave functions

- Cowan / CIV3
- MCHF
- GRASP(-92) / RATIP
- „Desclaux“
- Coupled-Cluster

RATIP

Relativistic Atomic Transition, Ionization and Recombination Properties

AUGER: Auger rates, relative intensities, angular distribution & spin polarization parameters.

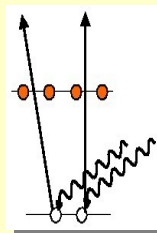
REC: Radiative recombination & electron capture rates, angular parameters.

CESD: Determinant representation of atomic and configuration state functions.

RELCI: Relativistic configuration interaction wave functions & QED estimates.

Many-electron basis (wave function expansions)

- Construction and classification of N-particle Hilbert spaces
- Shell model:** Systematically enlarged CSF basis
- Interactions**
 - Dirac-Coulomb Hamiltonian
 - Breit interactions + QED
 - Electron continuum; scattering phases
- Coherence transfer and Rydberg dynamics**



REOS: Relaxed-orbital Einstein A and B coefficients, transition probabilities and lifetimes.

TOOLBOX: Level energies and notations; manipulations of file interfaces, miscellaneous.

COULOMB: Excitation amplitudes, (M_J -dependent) cross sections, alignment parameters.

RATIP

Relativistic Atomic Transition, Ionization and Recombination Properties

AUGER: Auger rates, relative intensities, angular distribution & spin polarization parameters.

REC: Radiative recombination & electron capture rates, angular parameters.

CESD: Determinant representation of atomic and configuration state functions.

RELCl: Relativistic configuration interaction wave functions & QED estimates.

EINSTEIN: Einstein A and B coefficients, transition probabilities & radiative lifetimes.

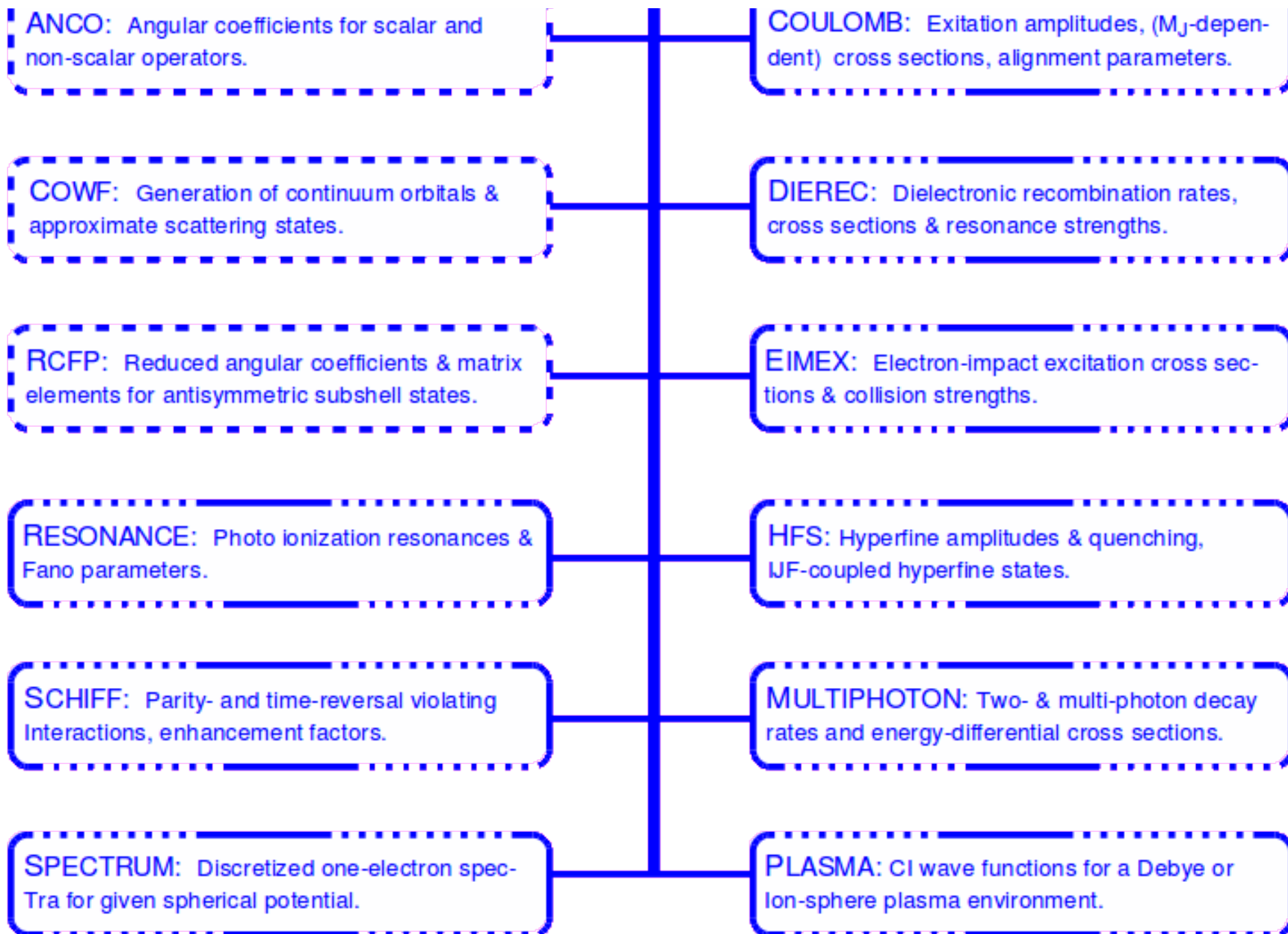
REOS: Relaxed-orbital Einstein A and B coefficients, transition probabilities and lifetimes.

PHOTO: Ionization cross sections, angular & spin-polarization, alignment of photoions.

TOOLBOX: Level energies and notations; manipulations of file interfaces, miscellaneous.

ANCO: Angular coefficients for scalar and non-scalar operators.

COULOMB: Excitation amplitudes, (M_J -dependent) cross sections, alignment parameters.



ANCO: Angular coefficients for scalar and non-scalar operators.

COULOMB: Exit (energy dependent) cross sections.

COWF: Generation of continuum orbitals & approximate scattering states.

COMB: Combination rates, transition strengths.

RCFP: Reduced angular coefficients & matrix elements for antisymmetric subshell states.

EXC: Electron-impact excitation cross sections & collision strengths.

RESONANCE: Photo ionization cross sections, Fano parameters.

HFS: Hyperfine amplitudes & quenching, JF-coupled hyperfine states.

SCHIFF: Photo ionization cross sections, violating interference effects.

MULTIPHOTON: Two- & multi-photon decay rates and energy-differential cross sections.

SPHERICAL: Discretized one-electron spectra for a spherical potential.

PLASMA: CI wave functions for a Debye or ion-sphere plasma environment.

Utilized in more than 150 case studies during the last decade;
the offer to consider other systems ... and properties

Experimental proposal: Optical spectroscopy of nobelium (Z=102)

-- on-line production of target atoms

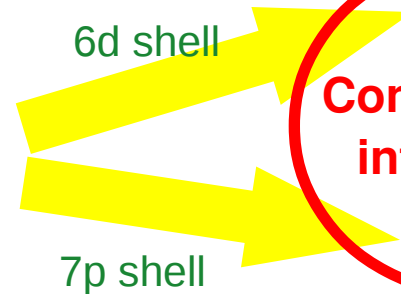
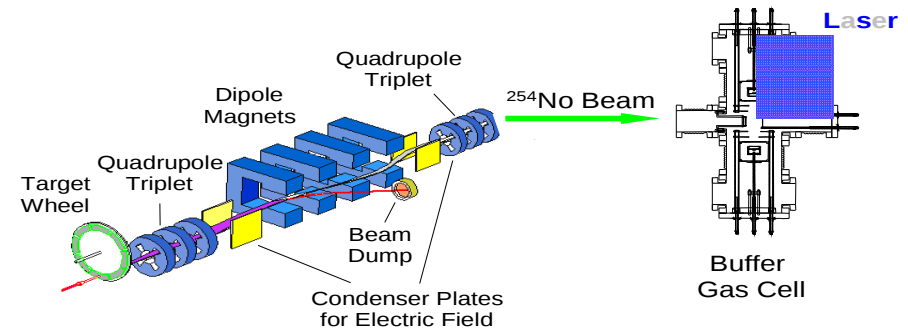
Ground-state configuration:



Low-lying excitations:



2 ... 5 eV



Configuration interaction



	Level	$^{2S+1}L_J$	Excitation energy (eV)	
			Model I	Model II
No	$5f^{14}7s7p$	3P_1	2.34	2.60
	$5f^{14}7s7p$	1P_1	3.49	3.36

Calculation of low-lying levels for (super-)heavy elements

-- for lutetium (Z=71) and lawrencium (Z=103)

TABLE I. The transition energies in cm^{-1} of $nd\ ^2D_{3/2} - (n+1)p\ ^2P_{1/2,3/2}^o$ and the size of CSF expansions for Lu ($n=5$) and Lr ($n=6$).

Expansion	$^2D_{3/2} - ^2P_{1/2}^o$	$^2D_{3/2} - ^2P_{3/2}^o$	CSF ($^2D_{3/2}/^2P_{1/2}^o/^2P_{3/2}^o$)
Lu			
VV + CV($4f^{14}$)	3989	7276	4354/2071/3813
VV + CV($5p^64f^{14}$)	8004	11 483	5600/2764/5073
VV + [(CV + CC) ($5p^64f^{14}$)]	3857	7130	128 763/36 974/100 277
VV + [(CV + CC) ($4d^{10}5s^25p^64f^{14}$)]	4186	7462	305 717/87 241/236 554
RCC [7]	3828	7140	
DFT [10]	3862		
Exp.	4136	7476	
DHF Breit Correction	87	53	
DHF Breit & QED Correction	76	43	
Lr			
VV + CV($5f^{14}$)	-1298	9137	3659/1842/3338
VV + CV($6p^65f^{14}$)	1339	12 761	4708/2495/4495
VV + [(CV + CC) ($6p^65f^{14}$)]	-1953	6469	125 325/37 333/97 500
VV + [(CV + CC) ($5d^{10}6s^26p^65f^{14}$)]	-1127	7807	330 252/95 969/246 376
RCC	-1388	6960	
RCC with Breit	-1263	7010	
DHF Breit Correction	97	4	
DHF Breit & QED Correction	59	-26	

Calculation of low-lying levels for (super-)heavy elements

-- oscillator strengths in different gauges

TABLE II. The oscillator strengths of $nd\ ^2D_{3/2} - (n+1)p\ ^2P_{1/2,3/2}^o$ for Lu ($n=5$) and Lr ($n=6$).

Expansion	$^2D_{3/2} - ^2P_{1/2}^o$			$^2D_{3/2} - ^2P_{3/2}^o$		
	gf_L	gf_V	Scaled gf_L	gf_L	gf_V	Scaled gf_L
Lu						
VV + CV($4f^{14}$)	0.0304	0.0582	0.0315	0.0111	0.0219	0.0114
VV + CV($5p^6 4f^{14}$)	0.0511	0.1552	0.0264	0.0144	0.0467	0.0094
VV + [(CV + CC) ($5p^6 4f^{14}$)]	0.0908	0.3835	0.0974	0.0322	0.0856	0.0337
VV + [(CV + CC) ($4d^{10} 5s^2 5p^6 4f^{14}$)]	0.1043	0.3345	0.1031	0.0354	0.0742	0.0355
Lr						
VV + CV($5f^{14}$)	-0.0162	-0.0076		0.0210	0.0313	
VV + CV($6p^6 5f^{14}$)	0.0144	0.2359		0.0227	0.0839	
VV + [(CV + CC) ($6p^6 5f^{14}$)]	-0.0624	-0.0002		0.0414	0.0867	
VV + [(CV + CC) ($5d^{10} 6s^2 6p^6 5f^{14}$)]	-0.0378	-0.0024		0.0519	0.0685	

Calculation of low-lying levels for (super-)heavy elements

-- oscillator strengths in different gauges

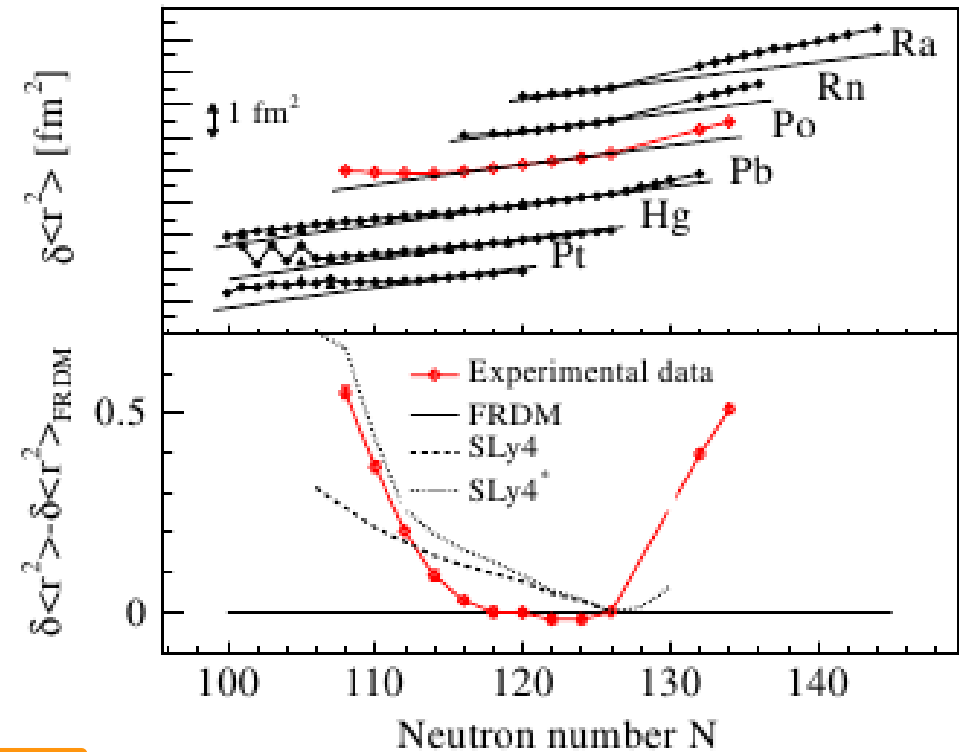
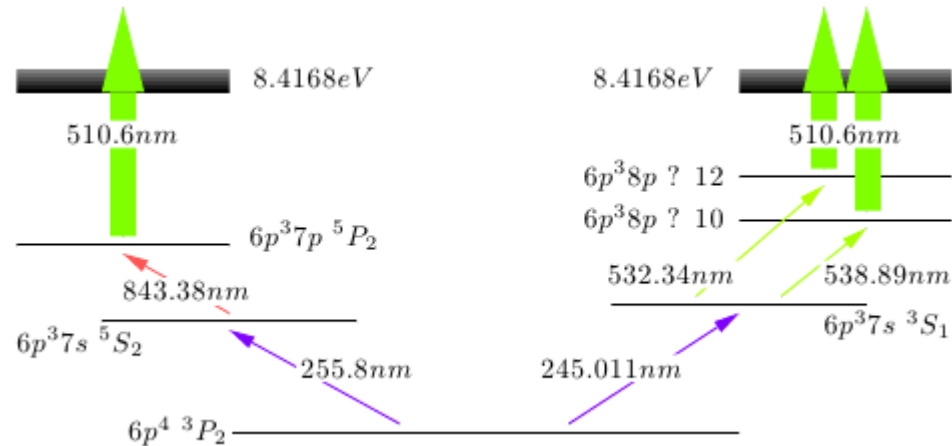
TABLE II. The oscillator strengths of $nd\ ^2D_{3/2} - (n+1)p\ ^2P_{1/2,3/2}^o$ for Lu ($n=5$) and Lr ($n=6$).

Expansion	$^2D_{3/2} - ^2P_{1/2}^o$			$^2D_{3/2} - ^2P_{3/2}^o$		
	gf_L	gf_V	Scaled gf_L	gf_L	gf_V	Scaled gf_L
Lu						
VV + CV($4f^{14}$)	0.0304	0.0582	0.0315	0.0111	0.0219	0.0114
VV + CV($5p^6 4f^{14}$)	0.0511	0.1552	0.0264	0.0144	0.0467	0.0094
VV + [(CV + CC) ($5p^6 4f^{14}$)]	0.0908	0.3835	0.0974	0.0322	0.0856	0.0337
VV + [(CV + CC) ($4d^{10} 5s^2 5p^6 4f^{14}$)]	0.1043	0.3345	0.1031	0.0354	0.0742	0.0355
Lr						
VV + CV($5f^{14}$)	-0.0162	-0.0076		0.0210	0.0313	
VV + CV($6p^6 5f^{14}$)	0.0144	0.2359		0.0227	0.0839	
VV + [(CV + CC) ($6p^6 5f^{14}$)]	-0.0624	-0.0002		0.0414	0.0867	
VV + [(CV + CC) ($5d^{10} 6s^2 6p^6 5f^{14}$)]	-0.0378	-0.0024		0.0519	0.0685	

Good accuracy of the (atomic) energies is a necessary, but not a sufficient criterion !

Po⁺ (Z=84): Heavy ions with complex spectra

-- the challenge of excited states and half-filled shells



Transition [nm]	F [GHz/fm ²]	M_{SMS} [GHz · amu]
255.8	28.363	51
843.38	-12.786	-311

Further isotopic chains

-- current requests from laser spectroscopy

Ion (Z)		Transition	λ [nm]	M [GHz·amu]	F [MHz/ fm ²]	Method & Ref.
Sc ⁺	(21)	$3d4s\ ^3D_2 - 3d4p\ ^3F_3$	363.1	580 (10%)	-355 (15%)	MCDF (Avgoulea <i>et al.</i> 2011)
Mn ⁺	(25)	$3d^54s\ ^5S_2 - 3d^54p\ ^5P_3$	295	-572 (15%)	852 (10%)	MCDF (Charlwood <i>et al.</i> 2010)
Cu ⁺	(29)	$3d^{10}4s\ ^2S_{1/2} - 3d^{10}4p\ ^2P_{3/2}$	325	... (15%)	-680 (15%)	MCDF
Ga ⁺	(31)	$4p\ ^2P_{3/2} - 5s\ ^2S_{1/2}$	417	-534 (15%)	392 (10%)	MCDF
Y ⁺	(39)	$5s^2\ ^1S_0 - 4d5p\ ^1P_1$	363	1789 ^a	-3181 ^a	semi-emp.
				1318 (15%)	-3210 (10%)	MCDF, this w.
		$4d5s\ ^3D_2 - 4d5p\ ^3P_1$	321	124 (10%)	-1132 (10%)	MCDF, this w.
Os ⁻	(76)	$5d^76s^2\ ^4F_{9/2} - 5d^66s^26p\ ^6D_{9/2}$	1162.7	2,500 ± 12,600 4,000 (40%)	16,200 ± 9,900 12,300 (25%)	(Kellerbauer <i>et al.</i> 2011) ^b MCDF
Po ⁺	(84)	$6p^37s\ ^5S_{1/2} - 6p^37p\ ^5P_2$	843.4	-311 (15%)	-12,786 (15%)	MCDF

^a Semi-empirical estimates by using radii from several neighbored elements; see text for discussion.

^b Experiments have been performed for two stable isotopes ¹⁸⁷Os⁻ and ¹⁸⁹Os⁻ by Kellerbauer *et al.* (2011).

Conclusions:

- Use transitions between low-lying levels with stable electronic structure (filled shells)
- If possible, use some charge state “near to” closed-shell (ground-state) structures

Correlated quantum systems in intense fields

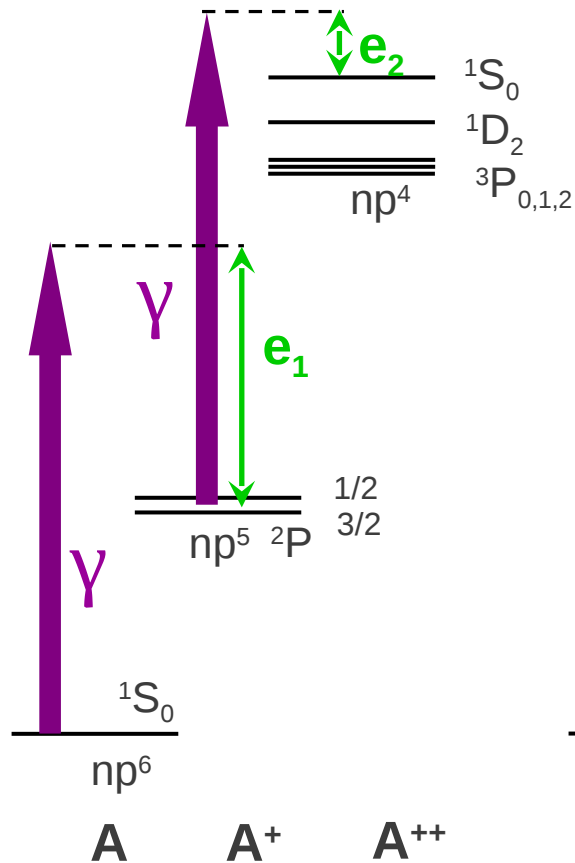
– dynamics of multiple and highly-charged ions

- ◆ Ionization & recombination in strong Coulomb fields
correlated photon and/or electron emission
- ◆ Coupling of deeply-bound electrons to the continuum
correlation-induced autoionization & capture
- ◆ Properties of many-electron & (super-) heavy elements
correlated (ab-initio) many-body techniques
- ◆ Multi-photon & electron dynamics in intense FEL radiation
correlated many-electron dynamics

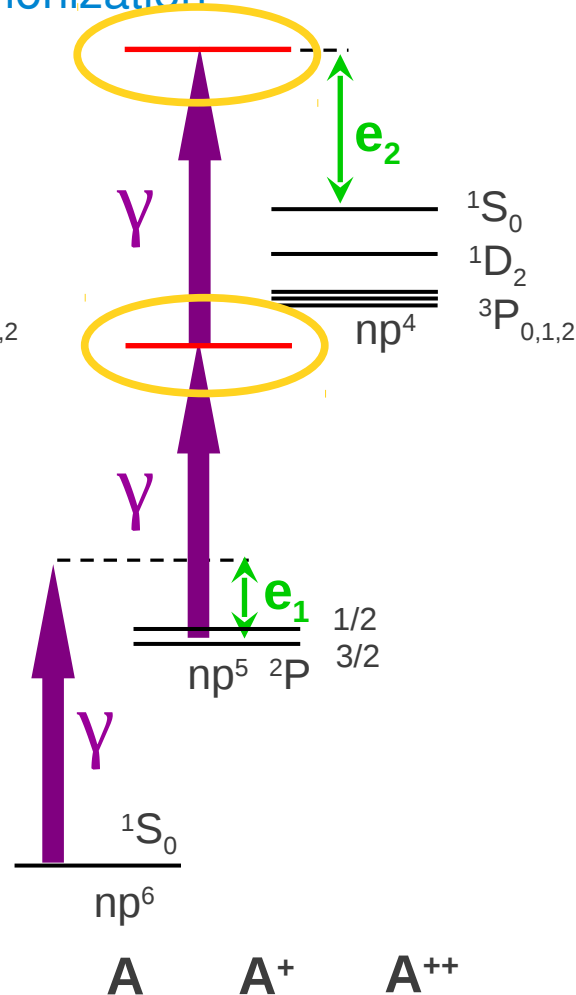
Multi-photon & electron dynamics in intense FEL radiation

– correlated many-electron dynamics

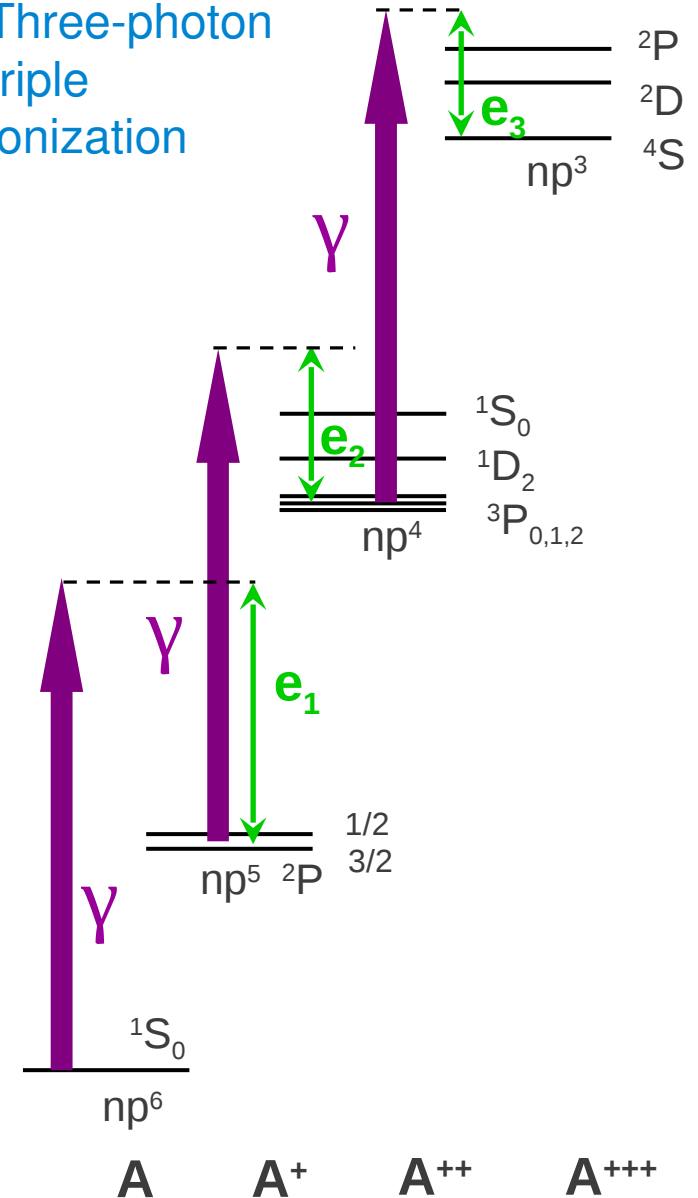
Two-photon
double
ionization



Three-photon
single/double-resonant
double
ionization



Three-photon
triple
ionization



Multi-photon & electron dynamics in intense FEL radiation

– coupling to the Auger continuum

Explicitly time-dependent density operator:

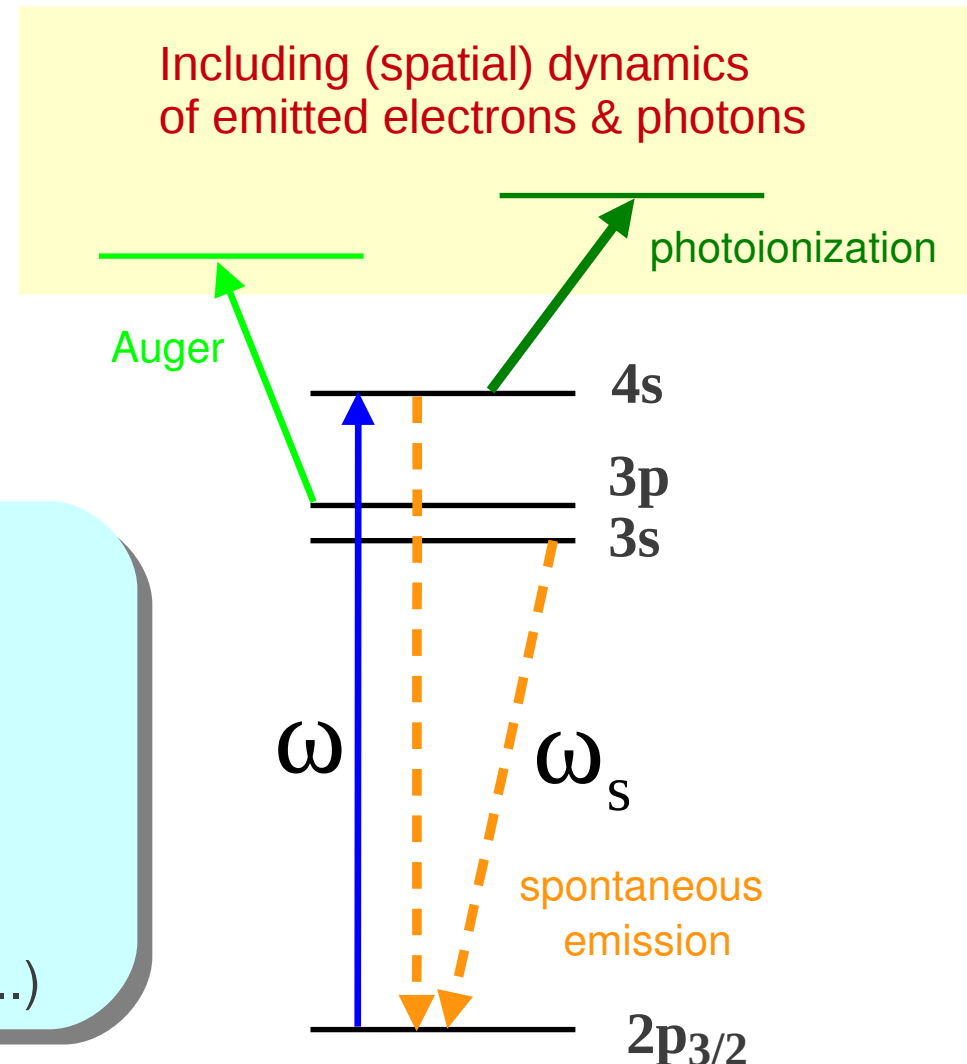
$$\dot{\rho} = \frac{i}{\hbar} [H, \rho] + L \rho$$

Based on Liouville's equation

Frequently applied in quantum optics:

- N (non-degenerate) bound levels
- long pulses with linear polarization
- electric-dipole & RWA approximation
- influence of coupling fields

(EIT, slow light, ...)



Coherent time evolution of inner-shell excited systems

– in short-pulse or pump-probe experiments

Explicitly time-dependent density operator including spatial degrees of freedom:

$$\dot{\rho} = \frac{i}{\hbar} [H, \rho] + L \rho$$

Based Liouville's equation

Initial state
($t \rightarrow -\infty$)

$\hat{\rho}_i$

Now time-dependent

Final state
($t \rightarrow +\infty$)

$\hat{\rho}_f$

$$i \frac{d \rho_{kq}(\alpha, \beta)}{dt} = \sum_{\kappa' q'} \sum_{\gamma} \left\{ F_{\kappa q}^{\kappa' q'}(\alpha, \beta, \gamma, \text{pulses geometry}; t) \rho_{k' q'}(\gamma, \beta) \quad \text{direct coupling} \right. \\ - G_{\kappa q}^{\kappa' q'}(\alpha, \beta, \gamma, \text{pulses geometry}; t) \rho_{k' q'}(\alpha, \gamma) \quad \text{exchange} \\ \left. - i \Gamma_{\kappa q}^{\kappa' q'}(\alpha, \beta, \gamma; t) \rho_{k' q'}(\gamma, \beta) \right\} \quad \text{ionization \& loss processes}$$

Atomic (transition & ionization) amplitudes from many-body theory (RATIP)

S. Fritzsche, CPC 183 (2012) 1525

Collaboration with Alexei Grum-Grzhimailo

Coherent time evolution of inner-shell excited systems

– in short-pulse or pump-probe experiments

Explicitly time-dependent density operator including spatial degrees of freedom:

$$\dot{\rho} = \frac{i}{\hbar} [H, \rho] + L \rho$$

Reduced Liouville equation

Initial state
($t \rightarrow -\infty$)

$\hat{\rho}_i$

Now time-dependent

Final state
($t \rightarrow +\infty$)

$\hat{\rho}_f$

The “hope”: Compared with time-dependent SE

- ➡ control of approximations: RWA, dipole, ... based on “physical insight”
- ➡ explicit electron dynamics
(including angular- and spin-dependent emission)
- ➡ pulses with given shape and polarization
- ➡ higher multipole contributions
- ➡ (rather) simple control upon effects of level and pulse structures
- ➡ feasible for many-electron systems in 3D

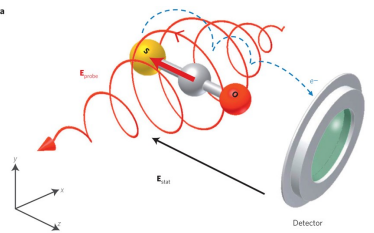
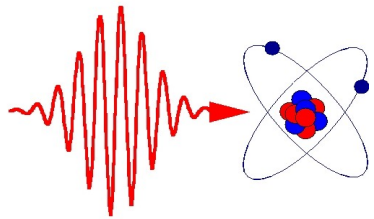
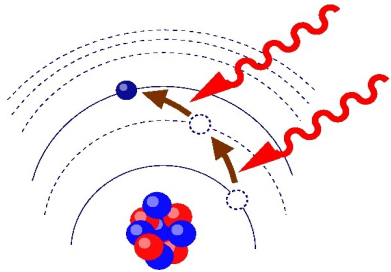
Atomic (amplitude)

S. Fritzsch

Collaboration

Quantum dynamics of correlated systems

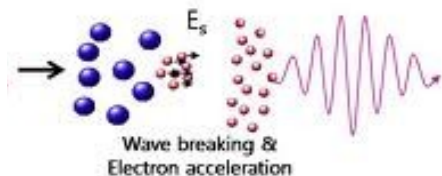
– (time-) evolution “through” the density matrix



Density matrix

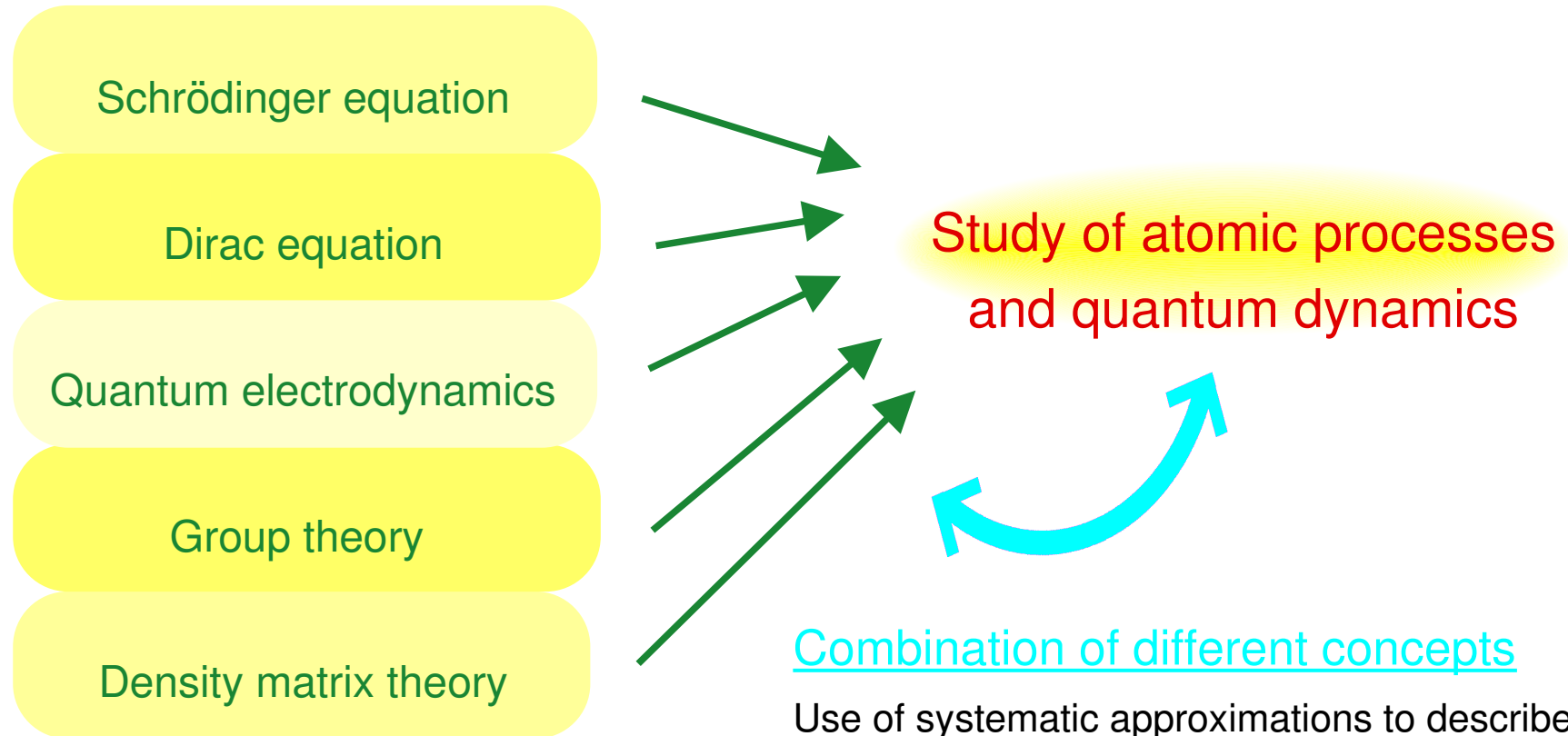
$$\rho = \rho(r, t; r', t') \\ = \rho(\mu_s, J, J'; E; l, \mu_l; t)$$

Ensemble of (collision) systems: requires statistical description



→ Can be used easily to accompany the system through several time-independent (or time-dependent) interactions, including the capture or emission of photons, electrons, etc. !

Summary: combination of quite different (many-particle) techniques



Combination of different concepts

Use of systematic approximations to describe the behaviour of quantum systems:

- ➡ Density matrix techniques and spherical tensors
- ➡ Racah's algebra
- ➡ Multiconfigurational expansions (CI, MCDF)
- ➡ Many-body perturbation theory (MBPT, CC)
- ➡ Green's functions